

Chinese Society of Comparative Pathology

中華民國比較病理學會

第 92 次比較病理學研討會暨會員大會

生殖系統疾病病理專題



主辦單位

Chinese Society of Comparative Pathology

中華民國比較病理學會

國立臺灣大學獸醫專業學院

中華民國 114 年 4 月 12 日 (April 12, 2025)

SCHEDULE

92th MEETING OF COMPARATIVE PATHOLOGY

中華民國比較病理學會 第 92 次比較病理學研討會暨會員大會

生殖系統疾病 病理討論會

時間：114 年 4 月 12 日（星期六）

地點：國立台灣大學 獸醫專業學院 獸醫三館地下一樓會議室

電話：02-33663873

Time (時間)	Schedule (議程)		Moderator (主持)
8:30~8:50	Registration (報到)		
8:50~9:00	Opening Ceremony (致詞)		
9:00~10:00	專題演講	主講：國立台灣大學獸醫系 劉振軒教授 題目：病例討論 What's your diagnosis ?	張俊梁 理事長
10:00~10:30	Coffee Break (合照)		
10:30~11:00	114 年度會員大會		
11:00~12:00	專題演講	主講：國軍左營總醫院 林冠宏主治醫師 題目：探索高壓氧療法在獸醫醫學中的角色：從基礎研究到臨床實踐	張晏禎 秘書長
12:00~13:30	午餐 及 第十屆第七次理監事會議		
13:30~14:00	Case 615	Tsai, Cho-Yen (蔡卓諺), DVM¹; Chang, Hui-Wen (張惠雯), DVM, PhD¹ ¹ Graduate Institute of Molecular and Comparative Pathobiology, School of Veterinary Medicine, National Taiwan University (國立台灣大學獸醫專業學院分子暨比較病理生物學研究所) 題目：Disorder of sexual development in a dog	施洽雯 理事
14:00~14:30	Case 616	Peng, Yi-Jeng (彭奕仁), MD¹ ¹ Department of Pathology, Tri-Service General Hospital (三軍總醫院), National Defense Medical Center (國防醫學院) 題目：Choriocarcinoma	邱慧英 常務理事
14:30~15:00	Coffee Break		
15:00~15:30	Case 617	Tsao, Wen-Tien (曹文恬), DVM, MS¹; Jiang, Jia-Wei (江家璋), DVM, MS¹; Luo, I-Chi (羅怡琪), DVM, MS¹ ¹ HOPE Veterinary Pathology Diagnostic Center (霍普獸醫病理診斷中心) 題目：Feline uterine adenocarcinoma	賴銘淙 理事

15:30~16:00	Case 618	<p>Shih, Chia-Wen (施洽雯), MD, MS¹; Hsu, Han-Chuan (許漢釗), MD²</p> <p>¹Department of Pathology, Lotung Poh-Ai Hospital (羅東博愛醫院病理科)</p> <p>²Department of Obstetrics and Gynecology, Lotung Poh-Ai Hospital (羅東博愛醫院婦產科)</p> <p>題目：Adenoid basal carcinoma</p>	<p>廖俊旺 監事</p>
16:00~16:30	General Discussion (綜合討論)	<p>張俊梁 理事長</p>	

目 錄

SCHEDULE.....	1
SPECIAL LECTURE I (專題演講 I).....	5
SPECIAL LECTURE II (專題演講 II).....	7
CASE DIAGNOSIS	9
CASE NUMBER: 615	10
CASE NUMBER: 616	14
CASE NUMBER: 617	19
CASE NUMBER: 618	24
中華民國比較病理學會章程.....	30
中華民國比較病理學會 第十屆理監事簡歷冊	35
中華民國比較病理學會 會員名單	37
中華民國比較病理學會 114 年度工作計劃	40
中華民國比較病理學會 114 年度工作報告	41
中華民國比較病理學會 114 年度收支預算表	42
中華民國比較病理學會 113 年度收支決算表	43
中華民國比較病理學會 113 年度資產負債表	44
中華民國比較病理學會 113 年度基金收支表	45
中華民國比較病理學會 113 年度現金出納表	46
中華民國比較病理學會資料庫使用須知	47

比較病理研討會病例分類一覽表	48
腫瘤	48
細菌	64
病毒	68
黴菌（含藻類）	71
寄生蟲（含原蟲）	72
立克次體	74
其他	74
會員資料更新服務	80
入會辦法	81
中華民國比較病理學會入會申請及會員卡	82

Special Lecture I (專題演講 I)

What is your diagnosis?

劉振軒兼任教授

國立台灣大學獸醫專業學院

Case discussion:

1. A 56-year-old female elephant
2. An unknown adult female mixed dog with recurrent hemoperitoneum
3. A male poodle with cryptorchidism
4. An adult mixed female dog with a protruding vaginal mass
5. A 6.5-year-old mixed rabbit showed decreased appetite and marked enlargement of right testicle



劉振軒

學歷：

1972-1977 臺灣大學農學院獸醫學系獸醫學學士

1983-1985 美國愛荷華州立大學 (Iowa State University) 獸醫學院 獸醫病理學碩士

1989-1993 美國加州大學戴維斯校區 (University of California-Davis) 比較病理學研究所比較病理學博士

現職：

臺灣大學獸醫專業學院兼任教授、臺北市政府顧問，臺北市立動物園野生動物健康照護及醫療小組召集人、莊福文教基金會顧問、農業部獸醫研究所顧問、臺北市政府動保委員、桃園市政府動保委員、臺灣動物園暨水族館協會顧問、中華民國比較病理學會理事

經歷：

1979-1999 臺灣養豬科學研究所病理生物系研究助理、助理研究員、副研究員及研究員兼企劃服務處主任

1999-2019 臺灣大學獸醫專業學院教授兼院長及獸醫學系主任、台大附設動物醫院教授兼院長、中華民國比較病理學會秘書長、理事、理事長，中華民國獸醫學會及台灣省畜牧獸醫學會理事長

Special Lecture II (專題演講 II)

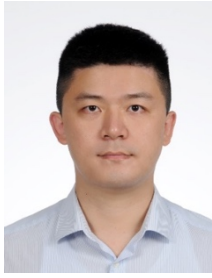
探索高壓氧療法在獸醫醫學中的角色：從基礎研究到臨床實踐

林冠宏 主治醫師
國軍左營總醫院

高壓氧療法 (HBOT) 近年逐漸在獸醫領域受到矚目，已廣泛應用於創傷癒合、神經損傷治療、炎症控制及中毒等疾病。十年來的基礎研究顯示，HBOT 透過增加組織氧合、調節發炎細胞激素、促進生長因子釋放與血管再生，能有效協助困難治療之病症，例如難治性傷口、嚴重脊髓損傷等。

雖然國際間已有不少成功的個案報告與臨床經驗，但整體療效尚未透過嚴謹的隨機對照研究確認。HBOT 的臨床應用在美國較成熟，在設備選用、操作規範、安全控管上皆有清晰標準，日本則發展低壓 HBOT 以降低副作用風險，並提供更靈活的應用方式。

台灣目前僅少數醫院引進 HBOT，尚需加強相關法規與人員培訓制度的建置。未來，建議台灣獸醫界積極發展臨床研究、培訓專業人才、並推動產學合作，以便充分發揮 HBOT 的治療潛力，促進獸醫醫療服務品質的提升，拓展未來發展契機。



林冠宏

現職：

國軍左營總醫院 潛水醫學部主治醫師、家庭醫學科主治醫師

學歷：

國防醫學院醫學系醫學士、高雄醫學大學藥學所博士

經歷：

中華民國高壓暨海底醫學會理事、歐洲潛水暨高壓氧醫學專科醫師、台灣家庭醫學醫學會專科醫師、中華民國高壓暨海底醫學會專科醫師、台灣外科醫學會專科醫師、台灣外傷醫學會專科醫師、中華民國骨質疏鬆症學會專科醫師、台灣精準醫學會精準醫學專科醫師、高雄市潛水人員職業工會顧問醫師、經濟部金屬工業中心 MTIC GWO-OPITO 顧問醫師

論文選錄：

1. 林冠宏, 陳杰. 纖維肌痛症. 臺灣醫界. 2024 Jun 1;67(6):25-30.
2. 林冠宏, 陳杰, 侯聰明. 脂漏性皮膚炎. 臺灣醫界. 2024 Apr 1;67(4):27-30.
3. 林冠宏, 陳杰. 異位性皮膚炎的診斷與治療趨勢. 臺灣醫界. 2024 Jan 1;67(1):20-8.
4. Lin KH, Chen C. 血尿的鑑別診斷與處置. 北市醫學雜誌. 2023 Dec 2;20(4):449-55.
5. 林冠宏, 陳杰. 居家安寧使用藥品之介紹. 臨床醫學月刊. 2023 Nov 25;92(5):746-752.
6. 林冠宏, 陳杰. 臨床常見的錢幣狀濕疹. 臨床醫學月刊. 2023 Oct 27;92(4):683-7.
7. Kou HS, Lin KH, Sebuyoya R, Chueh KS, Cheng CW, Wang CC. Dual-probe ligation without PCR for fluorescent sandwich assay of EGFR nucleotide variants in magnetic gene capture platform. Microchimica Acta. 2023 Sep;190(9):375.
8. 林冠宏, 陳杰. 慢性疼痛症候群-纖維肌痛症. 臨床醫學月刊. 2023 Aug 25;92(2):543-9.
9. 林冠宏, 陳杰. 維生素 D 對人體的重要性. 臨床醫學月刊. 2023 Jul 28;92(1):475-81.
10. 林冠宏, 陳杰. 大腸憩室症. 臨床醫學月刊. 2023 Jun 30;91(6):415-9.
11. Lin KH, Chen C. 老年族群的低鈉血症：病例報告. 南臺灣醫學雜誌. 2023 Jun 1;19(2): 75-80.
12. Lin KH, Chen C. 白斑及其他色素脫失疾病的診斷和治療. 南臺灣醫學雜誌. 2023 Jun 1;19(1):1-6.
13. 謝孟育, 林冠宏, 陳杰. 耳鳴的診斷與治療. 臨床醫學月刊. 2023 May 26;91(5):335-9.

Case Diagnosis

92th MEETING OF COMPARATIVE PATHOLOGY

中華民國比較病理學會 第 92 次比較病理學研討會暨會員大會

生殖系統疾病 病理討論會

民國 114 年 4 月 12 日

(閱片網址：<http://140.120.114.107/slidecenter.php?id=553>)

Case No.	Presenter	Slide No.	Diagnosis
Case 615	蔡卓諺	NTU2024-2126	Disorder of sexual development http://140.120.114.107/ivp_slide_view.php?id=2452
Case 616	彭奕仁	25_04903	Choriocarcinoma http://140.120.114.107/ivp_slide_view.php?id=2451
Case 617	曹文恬	22-1190	Feline uterine adenocarcinoma http://140.120.114.107/ivp_slide_view.php?id=2453
Case 618	施洽雯	20-7812	Adenoid basal carcinoma http://140.120.114.107/ivp_slide_view.php?id=2444

Case Number: 615

Slide Number: NTU2024-2126

Slide View: http://140.120.114.107/ivp_slide_view.php?id=2452



蔡卓諺

Cho-Yen Tsai

現職：

國立台灣大學分子暨比較病理生物學研究所 碩士生

學歷：

國立嘉義大學 學士

經歷：

國立中興大學動物疾病診斷中心 病理獸醫師

Tsai, Cho-Yen (蔡卓諺), DVM¹; Chang, Hui-Wen (張惠雯), DVM, PhD¹

¹ Graduate Institute of Molecular and Comparative Pathobiology, School of Veterinary Medicine, National Taiwan University (國立台灣大學獸醫專業學院分子暨比較病理生物學研究所)

CASE HISTORY:

Signalment: Canine, Mixed, Female, 10 months old

During the spaying procedure, the surgeon observed that the bilateral gonads and uterine horns were not connected and embedded in adipose tissue. Both gonads were connected to a tubular structure extending to the inguinal foramina. The bilateral uterine horns were enlarged, while the uterine body was exceptionally thin. The bilateral gonads, attached to an epididymis-like structure, were submitted for histopathological examination.

Gross Findings:

The received specimens were bilateral gonads that were attached with an epididymis-like structure. On the cut surface, the specimens were heterogeneously brown and dark red.

CASE RESULT:

Histopathological Findings:

The two specimens share similar findings. While there are no germ cell components, both gonads are composed of surface epithelium characterized by a layer of cuboidal cells sometimes entrapped into the stroma forming tubules resembling subsurface epithelial structures. Multifocally, there are clusters of cells comprising abundant faintly granular and less eosinophilic cytoplasm. Within the epididymis-like structure, there are multiple large ducts lined by single-layered columnar epithelium without cilia, resembling the efferent ductules. Locally extensively, there is also aggregation of small veins, resembling the pampiniform plexus. Occupying and expanding the fibrous stroma is a non-encapsulated but well demarcated growth composed of cells arranged in nests supported by fibrovascular stroma. The cells are polygonal with distinct borders, and have a transparent cytoplasm with an occasional eosinophilic droplet, an oval and hyperchromic nucleus and inconspicuous nucleolus. Anisocytosis and anisokaryosis are mild, and the mitotic count is less than 1 per 10 HPFs (2.37 mm²). The aforementioned cells are stained negative by the periodic acid-Schiff stain and are cytoplasmic positive using the Melan-A immunohistochemical staining.

Pathological Diagnosis: Disorder of sexual disorder, condition consistent with gonadal dysgenesis

Differential diagnosis:

1. Interstitial cell tumor
2. Luteoma

Discussion:

In the present case, based on the findings of no primitive germ cells identified in the streak gonads and the identification of a suspected interstitial cell tumor and the subsurface epithelial structure, the disorder of sexual development (DSD), referring to a series of developmental failures to either external genitalia or internal gonad and a complete gonadal dysgenesis (missing testis or ovary), are diagnosed [3]. The lack of testicular or ovary development resulting in the lack of testosterone, causes regression of the Wolffian duct (internal male genital structures) and development of female external genitalia. It might also be due to the lack of anti-Müllerian hormone, the Müllerian ducts continue to develop and therefore the animal has a small uterus and vagina. In such circumstance, an examination to identify the genetic factors including the sex chromosome (X, Y), the SRY gene in the Y chromosome, or the SOX9 gene that is critical in male development would be helpful for identifying the gender of the animal. The interstitial cells in the reproductive tract might be derived from the stromal mesenchymal cells, such as Leydig cells in males or theca cell in females [4]. Generally, the mass in the specimen is considered benign since there is no biologically malignant behavior or invasive growth.

DSD in veterinary medicine refer to congenital conditions affecting chromosomal, gonadal, or phenotypic sex development [1, 2]. Given species-specific differences, such as 78,XX and 78,XY in dogs, the classification of DSD has evolved to include four major categories: Sex chromosome DSD, SRY DSD, gonadal DSD, and phenotypic DSD. Among them, sex chromosome DSD arises from abnormalities in sex chromosome number or structure, such as aneuploidy (X_n, XXY, XXX), chimerism (XX/XY) and mosaicism (77,X_n/78,XX), and leads to gonadal dysgenesis, hypoplastic reproductive organs, and infertility. SRY DSD involves mutations, translocations, or deletions of the SRY gene, the key determinant of testicular development. 78,XY SRY-negative DSD results in complete gonadal dysgenesis (e.g., Swyer syndrome in humans, reported in some canine cases). 78,XX SRY-positive DSD causes XX testicular DSD, where testicular differentiation occurs despite the absence of a Y chromosome. Gonadal DSD is characterized by abnormal gonadal development despite normal sex chromosomes, including ovotesticular DSD (formerly "true hermaphroditism"), gonadal dysgenesis, and testicular or ovarian hypoplasia, and may occur due to mutations affecting SOX9, WT1, FOXL2, or DMRT1, disrupting testicular or ovarian differentiation. Lastly, phenotypic DSD arises when gonadal sex does not align with external genitalia or secondary sexual characteristics. It includes androgen insensitivity syndrome, 5 α -reductase deficiency, and persistent Müllerian duct syndrome (PMDS) in males. In females, conditions like congenital adrenal hyperplasia or exposure to excessive androgens in utero may cause virilization. The terminology in veterinary DSD has shifted towards a mechanism-based classification to enhance diagnostic accuracy and clinical relevance, moving away from outdated terms like "hermaphroditism." [2].

References:

1. Maxie MG. 2016. Jubb, Kennedy, and Palmer's Pathology of Domestic Animals. Vol 3. 6th ed. Philadelphia, PA: Elsevier Ltd.
2. Zachary JF. 2022. Pathologic Basis of Veterinary Disease. 7th ed. St. Louis, MO: Elsevier.
3. Meuten DJ. 2017. Tumors in domestic animals, Fifth edition, Wiley Blackwell, Iowa.
4. McGeady TA, Quinn PJ, FitzPatrick ES, Ryan MT, Cahalan S. 2017. Veterinary embryology, second edition, John Wiley & Sons, Ltd.

Case Number: 616

Slide Number: 25_04903

Slide View: http://140.120.114.107/ivp_slide_view.php?id=2451

Abstract:

A 49 year-old postmenopausal woman presented with acute abdominal pain and fainting. CT scans revealed pulmonary nodules and a uterine mass, suggesting metastatic disease. Surgical debulking confirmed a choriocarcinoma, characterized by two cell populations: medium-sized and multinucleated giant cells expressing beta-hCG, invading the myometrium with necrosis. Post-operative serum beta-hCG was significantly elevated, consistent with non-gestational somatic carcinoma with trophoblastic differentiation and ectopic hCG production.

Choriocarcinoma, a malignancy producing beta-hCG, primarily originates from gestational tissue but can also be non-gestational. Gestational choriocarcinoma is more common, occurring in the uterus, while non-gestational forms arise from germ or somatic cells. Histologically, it mimics placental tissue but lacks chorionic villi.

This aggressive tumor, part of the gestational trophoblastic disease spectrum, is invasive and prone to metastasis, often to the lungs. Treatment and prognosis differ: gestational choriocarcinoma is typically chemosensitive and curable, while non-gestational forms are more resistant and have a poorer outcome.

This case, occurring in a postmenopausal woman, emphasizes the importance of accurate diagnosis. Histological and beta-hCG findings confirmed the choriocarcinoma. The patient was treated with chemotherapy, reflecting the standard approach for this aggressive malignancy.



彭奕仁

Yi-Jen Peng

現職：

三軍總醫院病理部外科病理主治醫師

學歷：

國防大學國防醫學院醫學科學研究所博士

經歷：

三軍總醫院病理部主任

國防大學國防醫學院副教授

論文選錄：

1. Lin HH, Peng YJ, Chang CF, Chang PY, Peng PC, Chang WC, Chen TW, Hsieh TY. Heterogenous liver parenchymal enhancement in CT is a favorable prognosis of HCC after hepatic resection. *Am J Cancer Res.* 2024 Jun 15;14(6):2984-2993.
2. Wang YH, Peng YJ, Liu FC, Lin GJ, Huang SH, Sytwu HK, Cheng CP. Interleukin 26 Induces Macrophage IL-9 Expression in Rheumatoid Arthritis. *Int J Mol Sci.* 2023 Apr 19;24(8):7526.
3. Peng YJ, Chen CM, Li YF, Guo YT, Chen YT, Chao KH, Yang JJ. Patent blue versus methylene blue and indigo carmine as a better dye for chromodiscography: in vitro staining efficacy and cytotoxicity study using bovine coccygeal intervertebral discs. *Spine J.* 2023 Feb 18:S1529-9430(23)00076-1.
4. Tzeng YS, Peng YJ, Tang SE, Huang KL, Chu SJ, Wu SY, Cheng CP. Intermittent Exposure of Hypercapnia Suppresses Allograft Rejection via Induction of Treg Differentiation and Inhibition of Neutrophil Accumulation. *Biomedicines.* 2022 Apr 1;10(4):836.
5. Ioannou GN, Lee SP, Linsley PS, Gersuk V, Yeh MM, Chen YY, Peng YJ, Dutta M, Mascarinas G, Molla B, Cui JY, Savard C. Pcsk9 Deletion Promotes Murine Nonalcoholic Steatohepatitis and Hepatic Carcinogenesis: Role of Cholesterol. *Hepatology Commun.* 2022 Apr;6(4):780-794.
6. Lu HT, Lu JW, Lee CH, Peng YJ, Lee HS, Chu YH, Ho YJ, Liu FC, Shen PH, Wang CC. Attenuative Effects of Platelet-Rich Plasma on 30 kDa Fibronectin Fragment-Induced MMP-13 Expression Associated with TLR2 Signaling in Osteoarthritic Chondrocytes and Synovial Fibroblasts. *J Clin Med.* 2021 Sep 29;10(19):4496.

Peng, Yi-Jen (彭奕仁), MD, PhD

Department of Pathology, Tri-Service General Hospital, National Defense Medical Center, Taipei, Taiwan (國防醫學院三軍總醫院病理部)

CASE HISTORY:

Signalment: A 49-year-old female, Taiwanese

Chief complaint:

A 49 year-old woman had been suffering from sudden abdominal pain and fainting for the past two days, and her family brought her to the emergency room.

Clinical history and course:

The patient had no significant prior medical history. She was nulliparous (G0P0) and had experienced menopause for two years. Upon presentation to the emergency department, a computed tomography (CT) scan revealed multiple small solid nodules of varying sizes in both lung lobes, suggestive of pulmonary metastasis. Abdominal CT imaging demonstrated an enlarged uterus with a 5.4 cm poorly enhancing, heterogeneous mass within the myometrium. A ruptured uterine sarcoma with pulmonary metastases was suspected. An optimal debulking surgery was performed, and intraoperative frozen section analysis was conducted.

Lab data on admission:

Serum data in ER were BUN 10 mg/dL; Creatine 0.5 mg/dL; Na 139 mmol/L; K 4.1 mmol/L; AST 14 U/L; ALT 12 U/L; Blood routine data were WBC 4840/ul; Hb 9.0 g/dL; PLT 300000/ul; neutrophil 71.3%; lymphocyte 17.8%.

Preoperative serum tumor markers were the following: Cancer antigen 125 (CA125) was 15.84 U/ml (normal range 0–35 U/ml), CA19-9 5.63 U/ml (normal range 0–37 U/ml), CEA 0.59 ng/ml (normal range 0–5 ng/ml).

Gross Findings:

The specimens included a uterus and dissected lymph nodes. The cross sections showed a hemorrhagic necrotic mass in the fundus and extended to myometrium of the uterus.

CASE RESULT:

Histopathological Findings:

Histological examination reveals a solid tumor growth pattern consisting of two distinct cell populations: medium-sized cells and large, multinucleated giant cells displaying bizarre nuclear morphology and abundant cytoplasm. The tumor demonstrates myometrial invasion in a background of necrosis and hemorrhage, while remaining within the uterine confines. Chorionic villus is not

identified. The tumor cells are immunoreactive for pan-CK and p53, as well as focally for SALL4. Multinucleated giant cells exhibit beta-hCG expression, supporting their syncytiotrophoblast morphology. The features were consistent with choriocarcinoma. We also asked surgeon to check patient's beta-hCG level in serum and revealed more than 50 ng/ml (normal range less than 0.16, without pregnancy) after surgery.

Pathological Diagnosis:

Choriocarcinoma, consistent with non-gestational somatic carcinoma with trophoblastic differentiation and ectopic hCG production.

Differential diagnosis:

1. Epithelioid trophoblastic tumor
2. Placental site trophoblastic tumor
3. Invasive mole/hydatidiform mole/early pregnancy loss

Discussion:

Choriocarcinoma is a malignant tumor that produces β -hCG and primarily arises from gestational tissue, though it can also originate from germ cells independent of pregnancy [1]. The gestational form, the most common type, typically occurs in the uterus during reproductive years but can also be found postmenopausal. Non-gestational choriocarcinoma is rarer and arises from germ cells or somatic tissues, often in the ovaries or extragonadal sites [2].

Pathologically, choriocarcinoma exhibits trophoblastic differentiation resembling placental tissue but lacks chorionic villi [2]. It may emerge within epithelial or germ cell neoplasms, though its exact mechanisms remain uncertain. Theories suggest tumor collision or retro-differentiation [1]. This malignancy, part of the gestational trophoblastic disease (GTD) spectrum, is highly invasive, promotes angiogenesis, and metastasizes rapidly, frequently affecting the lungs, vagina, and brain [3]. Gestational choriocarcinoma can develop after various pregnancy events, including molar pregnancies (50%), spontaneous abortions (25%), normal pregnancies (22.5%), and ectopic pregnancies (2.5%)[4]. Its incidence is higher in Southeast Asia, with postmenopausal cases being rare[5].

Diagnosis relies on β -hCG measurement, histology, and immunohistochemistry. Definite diagnosis can be reached after STR analysis; non-gestational choriocarcinoma has identical alleles to the patient's and absence of the partner's alleles [6]. DNA analysis helps differentiate gestational from non-gestational origins, which is crucial for treatment. Gestational tumors contain both maternal and paternal alleles, whereas non-gestational tumors exhibit only maternal alleles [7].

Treatment and prognosis differ between the two types. Gestational choriocarcinoma responds well to chemotherapy and is often curable with early intervention [3]. In contrast, non-gestational choriocarcinoma lacks standardized treatment protocols, is more resistant to chemotherapy, and has a poorer prognosis [5]. Compared to gestational choriocarcinomas, non-gestational and mixed types

are believed to be associated with highly aggressive behavior, early metastasis, and poor survival outcomes [8].

A reported postmenopausal case highlights the importance of precise diagnosis. Clinical findings and immunochemistry confirmed its gestational origin, and treatment with chemotherapy was initiated [3]. DNA analysis, though valuable, may not always be available, underscoring the need for thorough clinical evaluation.

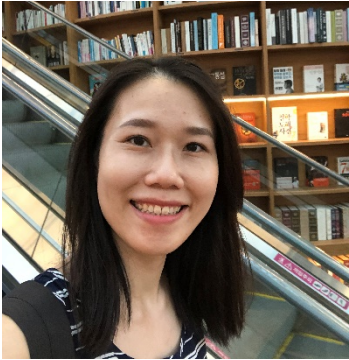
References:

- [1] B. Kaur, Pathology of Gestational Trophoblastic Disease (GTD), *Hematol Oncol Clin North Am* 38(6) (2024) 1191-1217.
- [2] B. Kaur, Pathology of gestational trophoblastic disease (GTD), *Best Pract Res Clin Obstet Gynaecol* 74 (2021) 3-28.
- [3] W. Ding, N. Zhang, Y. Rao, X. Xu, T. Nie, P. Qu, A Successfully Treated Multiple Metastatic Choriocarcinoma Coexistent With Live Fetus: A Case Report and Literature Review, *Front Oncol* 11 (2021) 777707.
- [4] A. Nicheperovich, B. Schuster-Bockler, M. Ni Leathlobhair, Gestational trophoblastic disease: understanding the molecular mechanisms of placental tumours, *Dis Model Mech* 18(1) (2025).
- [5] L. Wang, Y. Wan, Y. Sun, X. Zhang, X. Cheng, M. Wu, G. Liu, Pure nongestational uterine choriocarcinoma in postmenopausal women: a case report with literature review, *Cancer Biol Ther* 20(9) (2019) 1176-1182.
- [6] K. Yamauchi, Y. Sato, H. Usui, A. Sakurai, R. Harada, M. Goto, Short tandem repeat polymorphism analysis for primary peritoneal choriocarcinoma: A case report and literature review, *J Obstet Gynaecol Res* 48(10) (2022) 2640-2646.
- [7] R. Di Fiore, S. Suleiman, A. Felix, S.A. O'Toole, J.J. O'Leary, M.P. Ward, J. Beirne, M. Sabol, P. Ozretic, A. Yordanov, M. Vasileva-Slaveva, S. Kostov, M. Nikolova, I. Said-Huntingford, D. Ayers, B. Ellul, F. Pentimalli, A. Giordano, J. Calleja-Agius, An Overview of the Role of Long Non-Coding RNAs in Human Choriocarcinoma, *Int J Mol Sci* 22(12) (2021).
- [8] W. Huang, Z. Zheng, Z. Bao, X. Xiao, L. Li, Z. Sun, L. Kang, A poor prognostic male choriocarcinoma with multiple systemic metastases: a case report and the literature review, *Front Med (Lausanne)* 11 (2024) 1382672.

Case Number: 617

Slide Number: 22-1190

Slide View: http://140.120.114.107/ivp_slide_view.php?id=2453



曹文恬

Wen-Tien Tsao

現職：

霍普獸醫病理專科醫院 病理獸醫師

學歷：

國立嘉義大學獸醫系

國立台灣大學獸醫專業學院分子暨比較病理生物學研究所碩士

經歷：

臺灣動藥病理獸醫師

Tsao, Wen-Tien (曹文恬), DVM, MS¹; Jiang, Jia-Wei (江家璋), DVM, MS¹; Luo, I-Chi (羅怡琪), DVM, MS¹

¹HOPE Veterinary Pathology Diagnostic Center (霍普獸醫病理診斷中心)

CASE HISTORY:

Signalment: A 13-years-old cat, female intact, mix cat

History: The cat had pyometra 2 years ago and recovered after medical treatment. Pyometra was diagnosed again recently, and the uterus was rupture within abdomen cavity. A mass was discovered in uterine body and submitted for pathologic examination.

CASE RESULTS:

Histopathologic findings:

The uterus is lack of normal structure and replaced by disorganized tumor mass, the tumor is unencapsulation and largely infiltrate into muscle layer. Some tumor cells are almost reached serosa layer. Tumor cells are arranged in tubular, papillary to solid lobule with marked desmoplasia and suppurative inflammation. Neoplastic cells are crowded and lack of polarity. Tumor cells are large polygonal, with round to ovoid nuclei and single prominent nucleoli, and scant to abundant pale eosinophilic to vacuolated cytoplasm. Cells exhibit marked anisokaryosis and anisocytosis, and the mitotic figure is 2-3/HPF.

Pathological diagnosis:

Feline uterine adenocarcinoma

Differential diagnosis:

1. Cystic endometrial hyperplasia
2. Endometrial adenomyosis
3. Metastatic adenocarcinoma

Discussion:

Cats are seasonally polyestrous, meaning they exhibit multiple estrous cycles within a season, followed by a period of non-cyclicity. Cats cycle when the day length is long but can be induced to cycle year-round with 14 h of continuous artificial lighting. The feline estrous cycle includes the following stages: proestrus, estrus, interestrus and, if ovulation occurs, diestrus. Cats are induced ovulators and ovulate in response to multiple natural matings.

Endometrial adenocarcinoma, the most common uterine epithelial tumor, is rare in domestic animals other than rabbits and cattle. The most common mesenchymal tumor of the uterus is

leiomyoma and has been the most common tumor in retrospective studies limited to feline genital tract neoplasia.

The routine ovariohysterectomy practiced in cats has been described as protective from uterine neoplasia, although this may not be completely true as uterine adenocarcinoma may develop from the uterine stump of spayed cats. In most frequently described situations, uterine adenocarcinomas developed silently, the clinical signs being vague and unspecific, and pyometra is often associated with uterine adenocarcinoma.

Uterine neoplasms of epithelial origin are rare in cats and most often are described in older females, over 9 years of age. However, yearling females, with ages ranging from 7 to 12 months that recently acquired sexual maturity, with uterine adenocarcinomas were reported. None of the young females was under contraceptive treatment, and all cases were in diestrus stage with active corpora lutea in ovaries.

The ultrasonography may be helpful for the initial assessment of the clinical situation, although the most often described ultrasound images are similar to those of pyometra. A definitive diagnosis is only obtained through histological examination of surgically excised specimens.

Complete OHE is the treatment of choice for uterine tumors. At the time of surgery, thorough examination of the abdominal cavity must be performed with biopsy of any suspected metastatic foci. Little is known about the role of chemotherapy.

Previous studies showed all 50 cases and 5/6 feline uterine adenocarcinomas were positive for the progesterone receptor. Some cats received exogenous progesterone for a variable period before uterine adenocarcinoma diagnosed. Such findings raise the question on the eventual role for progesterone in the invasiveness and progression of the epithelial tumors of the cat endometrium, highlighting the fact that the species is an induced ovulator. The information suggests that progesterone may favor the abnormal proliferation of the endometrial glands that, and might become uncontrolled.

Neither histologic pattern nor mitotic index correlated with invasiveness of the tumor or outcome of the case. Tumors with marked nuclear atypia and those that metastasized usually did not express estrogen receptors. This loss of expression of estrogen receptors in these tumors suggests estrogen independence and may indicate a worse prognosis. The intact female cat, unless induced to ovulate or treated with synthetic progestins, is more frequently subjected to high levels of estrogen than progesterone, especially if persistent seasonal or nonseasonal estrus develops; therefore, hormonally responsive uterine disease in cats is more likely the result of estrogen stimulation. Hormone-dependent uterine adenocarcinoma may benefit from medical management of metastatic spread after ovariohysterectomy. Nuclear atypia and loss of estrogen receptor expression may predict metastatic potential but needs more research to characterize the tumor behavior.

Different study also found ER- α immunoreaction in feline uterine adenocarcinoma, a marked decrease in the intensity and the percentage of labelled cells for both epithelium and stromal compartments. The proliferative index Ki-67 was considerably higher in the neoplastic epithelium (42.9 ± 3.8) than in normal endometrial epithelia in follicular stage and lutea stage. The CK7+/CK20+

epithelial immunoprofile was maintained in adenocarcinoma as in normal cat endometrial epithelium. However, a heterogeneous, patchy immunolabelling was observed for both CK in the neoplastic epithelium. This study suggested that the myometrial invasion observed in feline adenocarcinoma was associated with negative stromal ER- α status and with a higher percentage of CK20-positive cells. In tumors, nuclear atypia was related to a lower intensity of CK7 labelling. The loss of PR positive cells in the myometrium in feline adenocarcinoma was related to a higher nuclear atypia in carcinoma cells.

In conclusion, feline uterine adenocarcinoma is rare, and tumor generally exhibit atypical morphology, more mitosis, and myometrial invasion, some may even invade serosa and lymphovascular.

References:

1. Miller MA, Ramos-Vara JA, Dickerson MF, Johnson GC, Pace LW, Kreeger JM, Turnquist SE, Turk JR. Uterine neoplasia in 13 cats. *J Vet Diagn Invest.* 2003 Nov;15(6):515-22.
2. Çortu A, Akar A, İpek V, Ayözger LEÖ: A case of endometrial carcinoma and pregnancy in a cat. *Kafkas Univ Vet Fak Derg,* 29 (3): 293-297, 2023.
3. Binder C, Reifinger M, Aurich J, Aurich C. Histopathological findings in the uteri and ovaries of clinically healthy cats presented for routine spaying. *J Feline Med Surg.* 2021 Aug;23(8):770-776.
4. Pires, Maria & Vilhena, Hugo & Tavares Pereira, Miguel & Seixas Travassos, Fernanda & Saraiva, Ana. (2016). Proliferative Endometrial Lesions Hidden behind the Feline Pyometra. 10.5772/62788.
5. Foster RA. Female reproductive system and mammae. In: Zachary JF, ed. *Pathologic basis of veterinary disease.* 6th ed. Elsevier, Inc., USA, 1147-1193, 2017.
6. Cho SJ, Lee HA, Hong S, Kim O. Uterine adenocarcinoma with feline leukemia virus infection. *Lab Anim Res.* 2011;27(4):347-351.
7. Payan-Carreira R, Saraiva AL, Santos T, Vilhena H, Sousa A, Santos C, Pires MA. Feline endometrial adenocarcinoma in females <1 year old: a description of four cases. *Reprod Domest Anim.* 2013 Oct;48(5)
8. Johnson AK. Normal feline reproduction: The queen. *Journal of Feline Medicine and Surgery.* 2022;24(3):204-211.
9. Moosavian H, Vahabi R, Pourreza B, Darbandsari M. Diffuse Uterine Adenomyosis and Bilateral Ovarian Cysts in a Chinchilla Cat. *Top Companion Anim Med.* 2022 Jul-Aug;49:100663.
10. Bulman-Fleming J. A rare case of uterine adenomyosis in a Siamese cat. *Can Vet J.* 2008 Jul;49(7):709-12.
11. Berek JS, Matias-Guiu X, Creutzberg C, Fotopoulou C, Gaffney D, Kehoe S, Lindemann K, Mutch D, Concin N; Endometrial Cancer Staging Subcommittee, FIGO Women's Cancer Committee. FIGO staging of endometrial cancer: 2023. *Int J Gynaecol Obstet.* 2023 Aug;162(2):383-394.
12. Elsinghorst TA, Timmermans HJ, Hendriks HG. Comparative pathology of endometrial

- carcinoma. *Vet Q.* 1984 Sep;6(4):200-8.
13. Binder C, Aurich C, Reifinger M, Aurich J. Spontaneous ovulation in cats-Uterine findings and correlations with animal weight and age. *Anim Reprod Sci.* 2019 Oct; 209:106167.
 14. R.M. Gil da Costa, M. Santos, I. Amorim, C. Lopes, P. Dias Pereira, A.M. Faustino,
 15. An Immunohistochemical Study of Feline Endometrial Adenocarcinoma, *Journal of Comparative Pathology*, Volume 140, Issue 4, 2009, Pages 254-259.
 16. Saraiva AL, Payan-Carreira R, Gärtner F, Fortuna da Cunha MR, Rêma A, Faria F, Lourenço LM, Pires Mdos A. An immunohistochemical study on the expression of sex steroid receptors, Ki-67 and cytokeratins 7 and 20 in feline endometrial adenocarcinomas. *BMC Vet Res.* 2015 Aug 14;11:204.
 17. Anderson C, Pratschke K. Uterine adenocarcinoma with abdominal metastases in an ovariohysterectomised cat. *J Feline Med Surg.* 2011 Jan;13(1):44-7.

Case Number: 618

Slide Number: LP207812

Slide View: http://140.120.114.107/ivp_slide_view.php?id=2444

Abstract:

A 69 years old female who came to the OPD of OBS&GYN of Lo-Tung Poh-Ai hospital with the chief complaint of postmenopausal vaginal bleeding for month. Pap. smear was performed and showed CIN III (cervical intraepithelial neoplasm III). Then cervical biopsy was performed and also showed CIN III. Afterwards, cervical conization was performed. The specimen was sent to the department of pathology for pathologic diagnosis. Histopathologically, parts of the mucosa were covered by dysplastic squamous epithelium. The submucosa contained many small, solid epithelial nests extensively spread and infiltrated the stroma. The cells were round or oval shape with irregular size and shape and fused nests were also found occasionally. The cells showed irregular size and shape, small to median-sized hyperchromatic nuclei and inconspicuous nucleoli. Some nests show peripheral nuclear palisading. The mitotic activity was very low. In some nests, small, round lumina or microcysts were found and contained eosinophilic materials. Some of the lumina were lined by cuboidal or low columnar cells. The differential diagnosis including adenoid cystic carcinoma, basaloid squamous cell carcinoma and adenoid basal carcinoma (ABC). Immunohistochemical stain was performed and confirm the diagnosis of ABC.

ABC is a rare cervical malignancy of epithelial origin that represents less than 1% of all cervical carcinomas. ABC was first reported by Baggish and Woodruff in 1966, and less than 200 cases of ABCs have been reported so far. Most cases of ABCs are discovered accidentally. ABC was reported to mainly occur in postmenopausal black women, usually in their 60 s and 70 s. ABC is most commonly identified following workup of an abnormal cervical cancer screening test. ABCs usually associated with SIL (squamous intraepithelial lesion) (usually high SIL) and resents a two-fold increased risk of cervical cancer. ABC is most commonly identified following workup of an abnormal cervical cancer screening test. ABCs usually associated with SIL (squamous intraepithelial lesion) (usually high SIL) and resents a two-fold increased risk of cervical cancer. The mainly treatment for ABC is surgery, including loop electrosurgical procedure (LEEP), hysterectomy ± bilateral salpingo-oophorectomy. The 5-year survival rate for patients with cervical ABC 99.4%. with appropriate surgical intervention.



施洽雯

Chia-wen Shih

現職：

Chief of the Department of Pathology, Lo-Tung Poh-Ai Hospital

學歷：

1975-1981 Chung-Shan Medical University.

1986-1988 Institute of Pathology, National Deference University.

經歷：

1983-1985 Resident of the Department of Internal Medicine, Show-Chwan Memorial Hospital.

1988-1989 Resident of the Department of Pathology, Tri-Service General Hospital.

1989-1990 Chief resident of the Department of Pathology, Chung-Shan Medical University Hospital.

1990-1993 Chief of the Department of Pathology, Chung-Shan Medical University.

1993-present Chief of the Department of Pathology, Lo-Tung Poh-Ai Hospital.

1989-1990 Lecture, Chung-Shan Medical Univaersity.

1990-1993 Associate Professor, Chung-Shan Medical Univaersity.

1995-2022 Associate Professor, Tzu Chi University.

論文選錄：

1. Chiang MF, Tseng TK, Shih CW, Yang TH, Wu SY. Clinical and contrast-enhanced image features in the prediction model for the detection of small hepatocellular carcinomas. *J Cancer*. 2020 Oct 18;11(24):7166-7175. doi: 10.7150/jca.47245. PMID: 33193879; PMCID: PMC7646160.
2. Tsai, Yu-Hsiang, Chia-Wen Shih, and Ching-Wen Chiang. "Nasal Glomus Tumor Presenting as Epistaxis-Case Report." *台灣耳鼻喉頭頸外科雜誌* 55.4 (2020): 214-217. airtiti Library. Web. 13 Nov. 2023. doi:10.6286/jtohn.202012_55(4).214

Shih, Chia-Wen (施洽雯), MD, MS¹; Hsu, Han-Chuan (許漢釗), MD²

1. Department of Pathology, Lotung Poh-Ai Hospital (羅東博愛醫院病理科)

2. Department of Obstetrics and Gynecology, Lotung Poh-Ai Hospital (羅東博愛醫院婦產科)

CASE HISTORY:

Signalment: 69-year-old female.

Clinical History:

A 69 years old female who came to the OPD of OBS&GYN of Lo-Tung Poh-Ai hospital with the chief complaint of postmenopausal vaginal bleeding for month. The PV examination showed scanty brownish discharge, no cervical polyp or mass, no contact bleeding. Then Pap. smear was performed and showed CIN III (cervical intraepithelial neoplasm III). For abnormal result of the Pap. smear, colposcopic examination was performed and showed no mosaic, no tumor and no erosion. Cervical biopsy was performed and showed CIN III. Afterwards, cervical conization was performed. The specimen was sent to the department of pathology for pathologic diagnosis. The specimen submitted consisted of 4 tissues and measuring 2.3 x 1.7 x 1.1 cm.

Clinical Pathology:

BUN: 21 mg/dL (6-20 mg/dL), Creatinine: 0.7 mg/dL (0.5-1.1 mg/dL), Glucose: 89 mg/dL (70-100 mg/dL), Na: 139 mmol/L (135-145 mmol/L), K: 3.7 mmol/L (3.5-5.1 mmol/L), RBC: 4.66 x10⁶/uL (4.2-5.4x10⁶/uL), Hb: 14.1 gm/dL (12.0-16.0 gm/dL), Hct: 42.4 % (37-47%), Plt: 23.3 x10⁴/dL (15-40 x10⁴/dL), WBC: 8.6 x10³/uL (4.5x10³- 11.0x 10³/uL).

CASE RESULT:

Histopathologic Findings:

Histopathologically, parts of the mucosa were covered by dysplastic squamous epithelium, irregular in size and shape with enlarged and hyperchromatic nuclei, inconspicuous or distinct nucleoli and loss of polarity. Glandular involvement was also noted. Beneath the surface epithelium of the uterine cervix, the endocervical submucosa contained many small, solid epithelial cell nests extensively spread and infiltrated the stroma. The cell nests were round or oval shape with irregular size and shape and fused nests were also found occasionally. The cells showed irregular size and shape, small to median-sized hyperchromatic nuclei and inconspicuous nucleoli. Neither lymphovascular nor perineural invasion was noted. Some nests show peripheral nuclear palisading. The mitotic activity was very low. Some cell nests showed squamous differentiation with increase of nuclear atypia and pleomorphism. In some nests, small, round lumina or microcysts were found in the center, and contained eosinophilic materials. Some of the lumina were lined by cuboidal or low

columnar cells. Cribriform pattern was not seen. No continuity was noted between the overlying epithelium and subepithelial tumor cell nests.

Immunohistochemistry:

Sections of tissue specimen were subjected for immunohistochemical evaluation. On immunohistochemical analysis, the submucosal cell nests were positive for 34BE12, P63, CK7, CK5/6 and P16, and negative for CD117.

Differential diagnosis:

1. Adenoid cystic carcinoma.
2. Basaloid squamous cell carcinoma.
3. Adenoid basal carcinoma.

Diagnosis: adenoid basal carcinoma, uterine cervix.

Comments:

Adenoid basal carcinoma (ABC) is a rare cervical malignancy of epithelial origin that represents less than 1% of all cervical carcinomas. ABC was first reported by Baggish and Woodruff in 1966, and less than 200 cases of ABCs have been reported so far. In Japan, Teramoto et al. identified 1 case of ABC out of 2600 “resected cervical malignancies” with an incidence less than 0.1% at the Shikoku Cancer Center. Chen et al. found 12 cases of ABC among 7694 cervical carcinomas in Taiwan with a 0.2% incidence. In China, Zhao et al. reported 10 cases of ABC among 3000 cases of cervical cancers with a 0.33% incidence. Morphologically, ABC closely resembles adenoid cystic carcinoma (ACC). In fact, it has been reported as the same entity in some early reports. ABC, ACC and basaloid squamous cell carcinoma (BSCC) are believed to be part of a basaloid cervical neoplasms, and a putative reserve cell origin has been suggested in World Health Organization classification of cervical tumors. It is important to distinguish ABC from ACC and BSCC due to vastly different clinical behavior. ABC has low potential for metastasis and recurrence. In contrast, ACC and BSCC, which morphologically closely resemble ABC, have an aggressive clinical course and often associated with recurrence or metastasis.

Most cases of ABCs are discovered accidentally. ABC was reported to mainly occur in postmenopausal black women, usually in their 60 s and 70 s. There is no definite histogenesis of ABC but several lines of evidence support the hypothesis of the reserve cell origin. Hiroi et al. found sparse organelles and scattered intracytoplasmic filaments, a resemblance to normal cervical reserve cells in the cells of ABC through electron microscopy. Patients of ABC are usually asymptomatic, without grossly detectable mass. ABC is characterized by specific histological appearance. Microscopically, ABC shows solid basaloid tumor nests with deep infiltration, peripheral palisading or cord like arrangement and some microcysts formation. Microscopically, the differential diagnosis of ABC

includes ACC and BSCC. Morphologically, ABC and ACC share histologic features including small basaloid cytology and both can have central glandular or squamous differentiation. Helpful features to distinguish ACC include moderate cytologic atypia, mitosis, and pseudo-lumens with hyaline basement membrane material. BSCC are distinguished by moderate cytologic atypia, variation in size of nuclei and desmoplastic reaction and no significant microcyst formation. Immunohistochemical stain can help distinguish these entities. ABC tumor cells are positive for P16, P63, P40, and CK5/6, whereas ACC shows positivity for CD117, laminin, and collagen IV. Chen et al. reported that immunohistochemistry for CD117 is one of the useful methods for differentiation between these neoplasms: it is positive in ACC but negative in ABC.

ABC is most commonly identified following workup of an abnormal cervical cancer screening test. ABCs usually associated with SIL (squamous intraepithelial lesion) (usually high SIL) and resents a two-fold increased risk of cervical cancer. When there is a squamous cell carcinoma component, the tumor is designated as a mixed carcinoma with clinical behavior determined by non-adenoid basal cell carcinoma component. ABC is most commonly identified following workup of an abnormal cervical cancer screening test. ABCs usually associated with SIL (squamous intraepithelial lesion) (usually high SIL) and resents a two-fold increased risk of cervical cancer.. Studies showed that high-risk HPV infection might be a promotion for the incidence of ABC. All five cases (100%) in John's study showed the presence of HPV 16. In Cviko's study, the HPV 16 positive rate is 80% (4/5).

The mainly treatment for ABC is surgery, including loop electrosurgical procedure (LEEP), hysterectomy ± bilateral salpingo-oophorectomy. ABC is an indolent malignancy which commonly resolves following hysterectomy alone. According to reports, patients usually had an excellent outcome with a low potential for recurrence and metastasis, no matter which kind of operation was performed. The 5-year survival rate for patients with cervical ACC were 69.3%, in contrast, Xing & Lu reported a 5-year survival rate of 99.4% for patients with cervical ABC with appropriate surgical intervention while the 10-year survival rate was reported as 91.4%.

Conclusion:

Cervical ABC is a rare malignancy, it is important to recognize that although ABC presents with an indolent course, the presence of background CIN 3 and HPV alone presents a two-fold increased risk of cervical cancer, with the potential for a more aggressive pathology. ABC requires careful diagnostic attention due to its histologic pictures similar more aggressive malignancies such as ACC and BSCC. Immunohistochemistry is helpful in distinguishing this unique pathological entity. Definitive treatment depends on accurate diagnosis and usually had an excellent outcome.

References:

1. M.S. Baggish, J.D. Woodruff, Adenoid-basal carcinoma of the cervix. *Obstet Gynecol.*, 1966; 28 (2), 213-18.

2. Cviko, B. Briem, S.R. Granter, A.P. Pinto, T.Y. Wang, Y.C. Yang, B.F. Chen, A. Yang, E.E. Sheets, F.D. McKeon, C.P. Crum. Adenoid basal carcinomas of the cervix: a unique morphological evolution with cell cycle correlates. *Hum. Pathol.* 2000; 31, 740-4.
4. H.G. Kim, Y.J. Song, Y.J. Na, O.H. Choi. A case of adenoid basal carcinoma of the uterine cervix. *J. Menopausal. Med.* 2013; 19 (3). 154-7.
1. Y.C. Lin, C.L. Perng, Y.M. Chang. Coexistent squamous cell carcinoma and adenoid basal carcinoma in the uterine cervix and infection with human papillomavirus (HPV 31). Taiwan. *J. Obstet. Gynecol.* 2013; 52 (3), 407-10.
2. K. Liu, Y. Shi, L. Qiao, G. Deng, N. Liang, J. Xie. The prognostic value of chemotherapy or/and radiotherapy in adenoid cystic carcinoma and adenoid basal carcinoma of the uterine cervix. *Ann. Transl. Med.* 2022; 10 (10), 554.
3. Cervical Adenoid basal carcinoma with high-grade squamous component: true mixed carcinoma or colonization of adenoid basal carcinoma by high-grade squamous intraepithelial lesion ? *Am. J. Surg. Pathol.* 2024; 48 (2), 238-46.
4. M. Shintaku, Y. Rai, S. Yoshioka, H. Okabe. Adenoid basal carcinoma of the uterine cervix: a case report with an immunohistochemical and ultrastructural study. *Int. J. Clin. Exp. Pathol.* 2018; 11 (3), 1758-62.
5. Ferry JA, Scully RE: "Adenoid cystic" carcinoma and adenoid basal carcinoma of the uterine cervix. A study of 28 cases. *Am J Surg Pathol.* 1988; 12:134-44.
6. Parwani AV, Smith Sehdev AE, Kurman RJ, Ronnett BM: Cervical adenoid basal tumors comprised of adenoid basal epithelioma associated with various types of invasive carcinoma: clinicopathologic features, human papillomavirus DNA
7. detection, and P16 expression. *Hum Pathol* 2005, 36:82-90.
8. Vuong PN, Neveux Y, Schoonaert MF, Guettier C, Houissa-Vuong S: Adenoid cystic (cylindromatous) carcinoma associated with squamous cell carcinoma of the cervix uteri: cytologic presentation of a case with histologic and ultrastructural correlations. *Acta Cytol.* 1996; 40:289-94.
9. A. Argon, A. Sener, O. Zekioğlu, C. Terek, N. Ozdemir. Cervical adenoid basal carcinoma: a case report. *Balkan Med. J.* 2021; 29 (4), 453-56.
10. Yang YJ, Gordon GB: Cervical adenoid cystic carcinoma coexisting with multiple human papillomavirus-associated genital lesions. A common etiology? *Gynecol Obstet Invest.* 1999; 47:272-7.
11. J.A. Brainard, W.R. Hart. Adenoid basal epitheliomas of the uterine cervix: a reevaluation of distinctive cervical basaloid lesions currently classified as adenoid basal carcinoma and adenoid basal hyperplasia. *Am. J. Surg. Pathol.* 1998; 22 (8), 965-975.
12. D. Xing, J. Lu. Distinctive clinicopathological features and disease-specific survival of adenoid cystic carcinoma and adenoid basal carcinoma in the lower female genital tract. *Oncol. Rep.* 2019; 41 (3), 1769-78.

中華民國比較病理學會章程

第一章 總則

- 第一條 本會定名為中華民國比較病理學會，英文名稱為 Chinese Society of Comparative Pathology (CSCP) (以下簡稱本會)。
- 第二條 本會依內政部人民團體法設立，為非營利目的之社會團體，以結合人類醫學與動物醫學資源，提倡比較病理學之研究與發展，交換研究教學心得，聯絡會員友誼及促進國際間比較醫學之交流為宗旨。
- 第三條 本會以全國行政區域為組織區域，會址設於主管機關所在地區，並得報經主管機關核准設主分支機構。前項分支機構組織簡則由理事會擬訂，報請主管機關核准後行之。會址及分支機構之地址於設置及變更時應報請主管機關核備。
- 第四條 本會之任務如左：
- 一、 提倡比較病理學之研究與發展。
 - 二、 舉辦學術演講會、研討會及相關訓練課程。
 - 三、 建立國內比較醫學相關資料庫。
 - 四、 發行比較病理學相關刊物。
 - 五、 促進國內、外比較醫學之交流。
 - 六、 其他有關比較病理學術發展之事項。
- 第五條 本會之主管機關為內政部。目的事業主管機關依章程所訂之宗旨與任務，主要為行政院衛生署及農業委員會，其目的事業應受各該事業主管機關之指導與監督。

第二章 會員

- 第六條 本會會員申請資格如下：
- 一、 一般會員：贊同本會宗旨，年滿二十歲，具有國內外大專院校(或同等學歷)生命科學及其它相關科系畢業資格或高職畢業從事生命科學相關工作滿兩年者。
 - 二、 學生會員：贊同本會宗旨，在國內、外大專院校生命科學或其它相關科系肄業者(檢附學生身份證明)。
 - 三、 贊助會員：贊助本會工作之團體或個人。

四、 榮譽會員：凡對比較病理學術或會務之推展有特殊貢獻，經理事會提名並經會員大會通過者。

前項一、二、三項會員申請時應填具入會申請書，經一般會員二人之推薦，經理事會通過，並繳納會費。學生會員身份改變成一般會員時，得再補繳一般會員入會費之差額後，即成為一般會員，榮譽會員免繳入會費與常年會費。

第七條 一般會員有表決權、選舉權、被選舉與罷免權，每一會員為一權。贊助會員、學生會員與榮譽會員無前項權利。

第八條 會員有遵守本會章程、決議及繳納會費之義務。

第九條 會員有違反法令、章程或不遵守會員大會決議時，得經理事會決議，予以警告或停權處分，其危害團體情節重大者，得經會員大會決議予以除名。

第十條 會員喪失會員資格或經會員大會決議除名者，即為出會。

第十一條 會員得以書面敘明理由向本會聲明退會。但入會費與當年所應繳納的常年會費不得申請退費。

第三章 組織及職員

第十二條 本會以會員大會為最高權力機構。

第十三條 會員大會之職權如下：

- 一、 訂定與變更章程。
- 二、 選舉及罷免理事、監事。
- 三、 議決入會費、常年會費、事業費及會員捐款之方式。
- 四、 議決年度工作計畫、報告、預算及決算。
- 五、 議決會員之除名處置。
- 六、 議決財產之處分。
- 七、 議決本會之解散。
- 八、 議決與會員權利義務有關之其他重大事項。

前項第八款重大事項之範圍由理事會訂定之。

第十四條 本會置理事十五人，監事五人，由會員選舉之，分別成立理事會、監事會。

選舉前項理事、監事時，依計票情形得同時選出候補理事五人，候補監事一人，遇理事或監事出缺時，分別依序遞補之。

本屆理事會得提出下屆理事及監事候選人參考名單。

第十五條 理事會之職權如下：

- 一、 審定會員之資格。
- 二、 選舉及罷免常務理事及理事長。

- 三、 議決理事、常務理事及理事長之辭職。
- 四、 聘免工作人員。
- 五、 擬訂年度工作計畫、報告、預算及決算。
- 六、 其他應執行事項。

第十六條 理監事置常務理事五人，由理事互選之，並由理事就常務理事中選舉一人為理事長。

理事長對內綜理監督會議，對外代表本會，並擔任會員大會、理事會主席。

理事長因事不能執行職務時，應指定常務理事一人代理之，未指定或不能指定時，由常務理事互推一人代理之。

理事長或常務理事出缺時，應於一個月內補選之。

第十七條 監事會之職權如左：

- 一、 監察理事會工作之執行。
- 二、 審核年度決算。
- 三、 選舉及罷免常務監事。
- 四、 議決監事及常務監事之辭職。
- 五、 其他應監察事項。

第十八條 監事會置常務監事一人，由監事互選之，監察日常會務，並擔任監事會主席。

常務監事因事不能執行職務時，應指定監事一人代理之，未指定或不能指定時，由監事互推一人代理之。監事會主席（常務監事）出缺時，應於一個月內補選之。

第十九條 理事、監事均為無給職，任期三年，連選得連任。理事長之連任以一次為限。

第二十條 理事、監事有下列情事之一者，應即解任：

- 一、 喪失會員資格。
- 二、 因故辭職經理事會或監事會決議通過者。
- 三、 被罷免或撤免者。
- 四、 受停權處分期間逾任期二分之一者。

第二十一條 本會置秘書長一人，承理事長之命處理本會事務，令置其他工作人員若干人，由理事長提名經理事會通過後聘免之，並報主管機關備查。但秘書長之解聘應先報主管機關核備。

前項工作人員不得由選任之職員（理監事）擔任。
工作人員權責及分層負責事項由理事會令另定之。

第二十二條 本會得設各種委員會、小組或其它內部作業組織，其組織簡則由理事會擬定，報經主機關核備後施行，變更時亦同。

第二十三條 本會得由理事會聘請無給顧問若干人，其聘期與理事、監事之任期同。

第四章 會議

第二十四條 會員大會分定期會議與臨時會議兩種，由理事長召集，召集時除緊急事故之臨時會議外應於十五日前以書面通知之。定期會議每年召開一次，臨時會議於理事會過半數認為必要，或經會員五分之一以上之請，或監事會半數函請召集時召開之。

第二十五條 會員不能親自出席會員大會時，得以書面委託其他會員代理，每一會員以代理一人為限。

第二十六條 會員大會之決議，以出席人數過半之同意行之。但章程之訂定與變更、會員之除名、理事及監事之罷免、財產之處置、本會之解散及其他與會權利義務有關之重大事項應有出席人數三分之二以上同意。但本會如果辦理法人登後，章程之變更應以出席人數四分之三以上之同或全體會員三分之二以上書面之同意行之。

第二十七條 理事會及監事會至少每六個月各舉行會議一次，必要時得召開聯席會議或臨時會議。

前項會議召集時除臨時會議外。應於七日以前以書面通知，會議之決議各以理事、監事過半數之出席，出席人較多數之同意行之。

第二十八條 理事應出席理事會議，監事應出席監事會議，不得委託出席；理事、監事連續二次無故缺席理事會、監事會者，視同辭職。

第五章 經費及會計

第二十九條 本會經費來源如下：

- 一、入會費：一般會員新台幣壹仟元，學生會員壹佰元，贊助會員伍仟元，於入會時繳納。
- 二、常年會費：一般會員新台幣壹仟元，學生會員壹佰元。
- 三、事業費。
- 四、會員捐款。
- 五、委託收益。

六、基金及其孳息。

七、其他收入。

第三十條 本會會計年度以國曆年為準，自每年一月一日起至十二月三十一日止。

第三十一條 本會每年於會計年度開始前二個月由理事會編造年度工作計劃、收支預算表、員工待遇表，提會員大會通過（會員大會因故未能如期召開者，先提理監事聯席會議通過），於會計年度開始前報主管機關核備，並於會計年度終了後二個月內由理事會編造年度工作報告、收支決算表、現金出納表、資產負債表、財產目錄及基金收支表，送監事會審核後，造具審核意見書送還理事會，提會員大會通過，於三月底前報主管機關核備（會員大會未能如期召開者，需先報主管機關備查）。

第三十二條 本會解散後，剩餘財產歸屬所在地之地方自治團體或主管機關指定之機關團體所有。

第三十三條 本章程未規定事項，悉依有關法令規定辦理。

第三十四條 本章程經大會通過，報經主管機關核備後施行，變更時亦同。

第三十五條 本章程經本會民國八十五年二月四日第一屆第一次會員大會通過，並報經內政部 85 年 3 月 14 日台(85)內社字第 8507009 號函准予備查。

中華民國比較病理學會 第十屆理監事簡歷冊

序號	職別	姓名	性別	學歷	經歷	現任本職
1	理事長	張俊梁	男	國防醫學院醫學科學研究所博士	國防醫學院兼任助理教授	國軍桃園總醫院病理檢驗部兼任主治醫師/台北榮民總醫院桃園分院兼任主治醫師/銘傳大學、國防醫學院兼任教授
2	常務理事	邱慧英	女	國立台大獸醫專業學院博士	台灣養豬科學研究所	國立中興大學獸醫病理生物學研究所副教授
3	常務理事	張惠雯	女	國立臺灣大學獸醫專業學院博士	美國哈佛醫學院博士後	台灣大學分子暨比較病理生物學研究所副教授
4	常務理事	陳燕麟	男	輔仁大學化學研究所博士	日本國立神經精神中心研究員	三軍總醫院病理部主治醫師/國防醫學院助理教授
5	常務理事	劉振軒	男	美國加州大學戴維斯校區比較病理學博士	國立臺灣大學獸醫專業學院院長	台灣大學分子暨比較病理生物學研究所兼任教授
6	理事	江家瑋	男	國立臺灣大學獸醫專業學院碩士		霍普獸醫病理專科醫院病理獸醫師
7	理事	林永和	男	國立台大病理研究所碩士	台北醫學院病理科講師	台北醫學院病理科副教授
8	理事	張皓凱	男	國立中興大學獸醫病理學研究所碩士		立眾病理實驗室主任 病理獸醫
9	理事	彭奕仁	男	國防醫學院醫學科學研究所博士	美國西雅圖華盛頓大學病理研究員	三軍總醫院病理部主任/國防醫學院病理及寄生蟲研究所所長/副教授
10	理事	黃威翔	男	國立臺灣大學獸醫專業學院博士		台灣大學分子暨比較病理生物學研究所副教授
11	理事	賈敏原	男	國立臺灣大學獸醫專業學院博士	國衛院研究員	國立中興大學獸醫系副教授
12	理事	鄭明芳	男	國立陽明大學口腔生物研究所博士	三軍總醫院病理部主治醫師	國軍花蓮總醫院組織臨床病理科主任
13	理事	賴銘淙	男	清華大學生命科學院博士	彰濱秀傳紀念醫院病理科主任	衛生福利部臺中醫院病理學科主任/中山醫學大學病理科副教授
14	理事	簡耀君	男	國立臺灣大學獸	長青動物醫院病	長青動物醫院病理部

				醫專業學院碩士	理部主任	主任
15	常務監事	陳姿好	女	國立中興大學獸醫病理學研究所碩士	生技中心研究員	財團法人國家實驗研究院國家實驗動物中心副技術師
16	監事	朱旆億	男	國立臺灣大學醫學系/國立臺灣大學獸醫專業學院博士	輔仁大學醫學系兼任助理教授	彰化秀傳紀念醫院病理科主任
17	監事	施洽雯	男	國立國防醫學院病理研究所	中山醫學院病理科副教授	羅東博愛醫院病理科主任
18	監事	廖俊旺	男	國立台灣大學獸醫學研究所博士	農業藥物毒物試驗所應用毒理組副研究員	國立中興大學獸醫病理生物學研究所教授
19	監事	鄭謙仁	男	美國北卡羅萊納州立大學博士	台灣大學獸醫學系教授兼院長	台灣大學分子暨比較病理生物學研究所教授
20	秘書長	張晏禎	女	國立臺灣大學獸醫專業學院博士	中央研究院博士後	台灣大學分子暨比較病理生物學研究所助理教授

中華民國比較病理學會會員名單

排序	會員編號	姓名	類別	備註
1	A00002	劉振軒	常務理事	
2	A00015	廖俊旺	監事	
3	A00022	蔡睦宗	一般會員	
4	A00041	許永祥	一般會員	停權
5	A00061	鄭謙仁	監事	
6	A00069	阮正雄	一般會員	停權
7	A00071	祝志平	一般會員	停權
8	A00074	李進成	一般會員	停權
9	A00076	施洽雯	監事	
10	A00087	林正忠	一般會員	停權
11	A00105	林永和	理事	
12	A00143	賴銘淙	理事	
13	A00262	楊俊宏	一般會員	停權
14	A00268	張俊梁	理事長	
15	A00286	江蓉華	一般會員	停權
16	A00288	蔡慧玲	一般會員	
17	A00294	魯懿萍	一般會員	停權
18	A00296	朱旆億	監事	
19	A00297	蔡懷德	一般會員	停權
20	A00299	林以樂	一般會員	停權
21	A00303	張文發	一般會員	停權
22	A00305	黃心宏	一般會員	
23	A00310	邱慧英	常務理事	
24	A00311	白馨	一般會員	停權
25	A00313	江家瑋	理事	
26	A00314	張惠雯	常務理事	
27	A00315	陳佳其	一般會員	停權
28	A00316	施正心	一般會員	
29	A00317	楊伊平	一般會員	
30	A00319	蔣克新	一般會員	停權
31	A00320	蔡清龍	一般會員	停權

排序	會員編號	姓名	類別	備註
32	A00321	吳佳樺	一般會員	停權
33	A00322	簡耀君	理事	
34	A00323	陳彥伯	一般會員	停權
35	A00324	黃馨頤	一般會員	停權
36	A00325	陳姿妤	常務監事	
37	A00326	賈敏原	理事	
38	A00327	鄭明芳	理事	
39	A00328	彭奕仁	理事	
40	A00329	李育翰	一般會員	停權
41	A00330	陳燕麟	常務理事	
42	A00331	許志勤	一般會員	
43	A00332	于知仁	一般會員	
44	A00333	何佳霖	一般會員	
45	A00334	蔡雨倫	一般會員	停權
46	A00335	林宜信	一般會員	
47	A00336	陳縱宇	一般會員	
48	A00337	郭建均	學生會員	原一般會員
49	A00338	周品君	一般會員	停權
50	A00339	陳威廷	一般會員	停權
51	A00340	高郁茜	一般會員	停權
52	A00341	趙曉梅	一般會員	停權
53	A00342	洪義文	一般會員	停權
54	A00343	羅雅文	一般會員	停權
55	A00344	黃威翔	理事	
56	A00345	郭軒	一般會員	停權
57	A00346	徐治平	一般會員	停權
58	A00347	何永傳	一般會員	
59	A00348	曹文恬	一般會員	
60	A00349	羅怡琪	一般會員	
61	A00350	張晏禎	秘書長	
62	A00351	陳謙豪	一般會員	
63	A00352	邱泓錫	一般會員	
64	A00353	黃泰堂	一般會員	

排序	會員編號	姓名	類別	備註
65	A00354	田永田	一般會員	
66	A00355	杭仁鈞	一般會員	
67	A00356	張皓凱	理事	
68	A00357	林東衛	一般會員	
69	A00358	吳保樹	一般會員	
70	A00359	徐治平	一班會員	
71	A00360	張權星	一般會員	
72	A00361	陳以瑛	一般會員	
73	A00362	楊馥華	一般會員	
74	A00363	林秉郁	一般會員	
75	A00364	彭曉婷	一般會員	
76	A00365	向家珍	一般會員	
77	A00366	李勻	一般會員	
78	A00367	廖淑惠	一般會員	
79	A00368	林鈺傑	一般會員	
80	A00369	蔡文銓	一般會員	

中華民國比較病理學會 114 年度工作計劃

一、 會務

(一) 徵求會員

二、 持續進行學會推廣及會員招募，擴大會員陣容，

(一) 整理會籍與清查會費

1. 更新整理會籍資料，並製作會員通訊錄

2. 清查會員繳費狀況，進行催繳，缺繳三年以上徹底實行停權

(二) 召開會議：召開會員大會一次，審查 114 年度工作報告與經費收支狀況，研議 114 年度之工作計劃及預算

(三) 學術活動：持續辦理三次研討會，並邀請國內外專家學者做學術性的演講

三、 業務

(一) 繳納會費

(二) 文書處理

(三) 整理與更新會員信箱，刪除無效信箱

(四) 病例資料處理：掃描研討會議病例切片，供會員研究教學使用

(五) 研討會活動照片、會員狀態及網頁維護更新

(六) 進行獸醫再教育學分申請，協助會員學分認證

中華民國比較病理學會 114 年度工作報告

一、 召開會員大會、理監事會議、舉辦學術研討會

(一) 會員大會

1. 第十屆第二次會員大會於 114 年 4 月 12 日於台大獸醫專業學院召開。

(二) 理監事會議

1. 第十屆第七次理監事會議於 114 年 4 月 12 日於台大獸醫專業學院召開。

二、 舉辦學術演講

(一) 第 92 次比較病理研討會邀請專題演講：

1. 劉振軒教授：What's your diagnosis?
2. 林冠宏主治醫師：探索高壓氧療法在獸醫醫學中的角色：從基礎研究到臨床實踐

三、 舉辦學術病理切片病例討論

- (一) 於第 92 次比較病理研討會共有 4 個單位提供 4 個病例供會員討論。

四、 架設學會網站（網址：<http://www.ivp.nchu.edu.tw/cscp/>）

- (一) 提供第 92 次比較病理研討會活動花絮照片

五、 獸醫師繼續教育學分認證

- (一) 第 92 次比較病理研討會提供獸醫師繼續教育認證

中華民國比較病理學會
收支預算表

中華民國 114 年 1 月 1 日至中華民國 114 年 12 月 31 日

款	項	科目		預算數	上年度預算數	本年度與上年度 預算比較數		說明
		目	名稱			增加	減少	
1			本會經費收入	95,000	75,080	9920		
			1 入會費	2,000	6,000		4,000	學生入會費 100 元，一般會員 1000 元
			2 常年會費	30,000	35,000		5000	學生會員年費 100 元，一般會員 1000 元
			3 贊助會費	60,000	30,000	30000		廠商贊助 5000 元
			4 利息收入	1,000	80	920		
2			其他收入	2,000	4,000		2000	
			本會經費支出	89,500	59,500	30,000		
			1 人事費	23,000	12,000	11000		
			1 兼職人員車馬費	0	0			
			2 其他人事費	23,000	12,000	11000		講師演講費調高並提供車馬費
2			辦公費	9,500	11,000		1500	
			1 印刷費	8,000	8,000			會議手冊印製
			2 旅運費	500	2,000		1500	
			3 郵電費	1,000	1,000			病理切片、邀請函郵寄
			4 公共關係費	0	0			
3			業務費	50,500	30,000	20500		
			1 會議費	45,000	30,000	15000		
			2 網站維護費	5,500	0	5500		
			4 雜費支出	4,500	4,500			
			5 提撥基金	2,000	2000			如有盈餘，得依規定提列 5% 以上
3			本期餘絀	5,500	15,580		10080	

理事長：

梁俊傑

常務監事：

陳安好

秘書長：

張晏

會計：

張晏

中華民國比較病理學會 收支決算表

中華民國 113 年 1 月 1 日至中華民國 113 年 12 月 31 日

單位：新臺幣(元)

款	項	目	科目		預算數	決算數	決算與預算比較數		說明
			名稱	名稱			增加	減少	
1			本會經費收入	182,618	75,080	107,538			
			入會費	2,000	6,000		4,000	學生入會費 100 元，一般會員 1000 元	
			常年會費	29,200	35,000		5,800		
			贊助會費	148,000	30,000	118,000			
			利息收入	2,418	80	2,338			
2			其他收入	1,000	4,000		3,000		
			本會經費支出	183,367	147,500	35,867			
			人事費	19,000	16,000	3,000			
			兼職人員車馬費	0	0		0		
			其他人事費	19,000	16,000	3,000		CP90 增加講者與海報評審費用	
2			辦公費	17,650	17,000	650			
			印刷費	16,743	14,000	2,743		會議手冊印製、CP90 邀請函	
			旅運費	280	2,000		1,720		
			郵電費	627	1,000		373	收據郵寄	
3			公共關係費	0	0		0		
			業務費	139,167	105,500	33,667			
			會議費	133,667	100,000	33,667		CP90 擴大辦理	
			網站維護費	5,500	5,500				
			雜費支出	5,550	7,000		1,450		
3			提撥基金	2,000	2,000			如有盈餘，得依規定提列 5% 以上 說明：本會暫無基金專戶，於年底時 依照盈餘情形提列為不可動支的準備 基金，於活期存簿中（合作金庫）。	
			本期餘絀	-749	-72,420	71,671			

理事長：

常務監事：

秘書長：

會計：

梁張俊

陳安好

張張

張張

中華民國比較病理學會

資產負債表

中華民國 113 年 12 月 31 日

單位：新臺幣（元）

資	產	負債	基金	暨	餘絀
合作金庫活存	327,178	歷年歲末累計結餘	395,559		
現金	69,632	提撥準備基金	2,000		
		113 年度餘絀	-749		
合 計	396,810	合 計	396,810		

理事長：


常務監事：


秘書長：


會計：


中華民國比較病理學會

基金收支表

中華民國 113 年 1 月 1 日至 113 年 12 月 31 日

單位：新臺幣（元）

收入		支出	
科目名稱	金額	科目名稱	金額
準備基金	0	準備基金	0
歷年累存	22900		
本年度提撥	2,000		
		結餘	24,900

理事長：

常務監事：

秘書長：

會計：

說明：本會暫無基金專戶，於年底時依照盈餘情形提列為不可動支的準備基金，於活期存簿中（合作金庫）。目前歷年累計貳萬肆仟玖佰元。

中華民國比較病理學會

現金出納表

中華民國 113 年 1 月 1 日至 113 年 12 月 31 日止 單位：新臺幣（元）

收		入	支		出
科	目	名	稱	金	額
上期結存		395,559	本期支出		181,367
本期收入		182,618	本期結存		396,810
合	計	578,177	合	計	578,177

理事長：



常務監事：



秘書長：



會計：



說明：

1. 本會暫無基金專戶，於年底時依照盈餘情形提列為不可動支的準備基金，於活期存簿中（合作金庫），故扣除提撥基金後，本年度實際支出為 181,367 元。
2. 本表為一團體在會計年度內現金（包括銀行存款）收支之表報。
3. 本表須經製表、出納、會計及機構負責人蓋章。

中華民國比較病理學會資料庫使用須知

How-To Access Comparative Pathology Virtual Slides

Hosted at the Web Library in NTU Vet Med Digital Pathology Lab

(中華民國比較病理學會數位式組織切片影像資料庫)

Comparative Pathology glass slides are now digitalized and accessible to all participants through the internet and a web browser (see below for detail instruction).

1. Please make sure that your web browser (e.g. Internet Explorer, Firefox or Safari) is equipped with "flash player." If not, it can be added from <http://www.adobe.com/products/flashplayer/> for free.
2. Please go to the Chinese Society of Comparative Pathology web site at <http://www.ivp.nchu.edu.tw/cscp/>
3. Choose the slide images (e.g. 63rd CSCP)
4. Pick any case you'd like to read (e.g. case 435-440)

比較病理研討會病例分類一覽表

中華民國比較病理學會				
第一次至第八十九次比較病理學研討會病例分類一覽表				

腫瘤

病例編號	會議場次	診 斷	動物別	提 供 單 位
1.	1	Myxoma	Dog	美國紐約動物醫學中心
2.	1	Chordoma	Ferret	美國紐約動物醫學中心
3.	1	Ependyoblastoma	Human	長庚紀念醫院
8.	2	Synovial sarcoma	Pigeon	美國紐約動物醫學中心
18.	3	Malignant lymphoma	Human	長庚紀念醫院
19.	3	Malignant lymphoma	Wistar rat	國家實驗動物繁殖及研究中心
24.	3	Metastatic thyroid carcinoma	Human	省立新竹醫院
25.	3	Chordoma	Human	新光吳火獅紀念醫院
34.	4	Interstitial cell tumor	Dog	中興大學獸醫學系
35.	4	Carcinoid tumor	Human	長庚紀念醫院
36.	4	Hepatic carcinoid	Siamese cat	美國紐約動物醫學中心
38.	6	Pheochromocytoma	Ferret	美國紐約動物醫學中心
39.	6	Extra adrenal pheochromocytoma	Human	新光吳火獅紀念醫院
40.	6	Mammary gland fibroadenoma	Rat	國家實驗動物繁殖及研究中心
41.	6	Fibroadenoma	Human	省立豐原醫院
42.	6	Canine benign mixed type mammary gland tumor	Pointer bitch	中興大學獸醫學系
43.	6	Phyllodes tumor	Human	台中榮民總醫院
44.	6	Canine oral papilloma	Dog	台灣大學獸醫學系
45.	6	Squamous cell papilloma	Human	中國醫藥學院
47.	7	1. Lung: metastatic carcinoma associated with cryptococcal infection. 2. Liver: metastatic carcinoma. 3. Adrenal gland, right: carcinoma (primary)	Human	三軍總醫院
56.	8	Gastrointestinal stromal tumor	Human	台中榮民總醫院

59.	8	Colonic adenocarcinoma	Dog	美國紐約動物醫學中心
62.	8	Submucosal leiomyoma of stomach	Human	頭份為恭紀念醫院
64.	8	1. Adenocarcinoma of sigmoid colon 2. Old schistosomiasis of rectum	Human	省立新竹醫院
71.	9	Myelolipoma	Human	台北耕莘醫院
72.	9	Reticulum cell sarcoma	Mouse	國家實驗動物繁殖及研究中心
73.	9	Hepatocellular carcinoma	Human	新光吳火獅紀念醫院
74.	9	Hepatocellular carcinoma induced by aflatoxin B1	Wistar rats	台灣省農業藥物毒物試驗所
	10	Angiomyolipoma	Human	羅東博愛醫院
	10	Inverted papilloma of prostatic urethra	Human	省立新竹醫院
	10	Nephrogenic adenoma	Human	國泰醫院
	10	Multiple myeloma with systemic amyloidosis	Human	佛教慈濟綜合醫院
	10	Squamous cell carcinoma of renal pelvis and calyces with extension to the ureter	Human	台北病理中心
	10	Fibroepithelial polyp of the ureter	Human	台北耕莘醫院
90.	10	Clear cell sarcoma of kidney	Human	台北醫學院
93.	11	Mammary gland adenocarcinoma, complex type, with chondromucinous differentiation	Dog	台灣大學獸醫學系
94.	11	1. Breast, left, modified radical mastectomy, showing papillary carcinoma, invasive 2. Nipple, left, modified radical mastectomy, papillary carcinoma, invasive 3. Lymph node, axillary, left, lymphadenectomy, papillary carcinoma, metastatic	Human	羅東聖母醫院
95.	11	Transmissible venereal tumor	Dog	中興大學獸醫學系
96.	11	Malignant lymphoma, large cell type, diffuse, B-cell phenotype	Human	彰化基督教醫院
97.	11	Carcinosarcomas	Tiger	台灣養豬科學研究所
98.	11	Mucinous carcinoma with intraductal carcinoma	Human	省立豐原醫院

99.	11	Mammary gland adenocarcinoma, type B, with pulmonary metastasis, BALB/cBYJ mouse	Mouse	國家實驗動物繁殖及研究中心
100.	11	Malignant fibrous histiocytoma and paraffinoma	Human	中國醫藥學院
102.	11	Pleomorphic adenoma (benign mixed tumor)	Human	佛教慈濟綜合醫院
103.	13	Atypical central neurocytoma	Human	新光吳火獅紀念醫院
	13	Cardiac schwannoma	SD rat	國家實驗動物繁殖及研究中心
	13	Desmoplastic infantile ganglioglioma	Human	高雄醫學院
	13	1.Primary cerebral malignant lymphoma 2.Acquired immune deficiency syndrome	Human	台北市立仁愛醫院
	13	Schwannoma	Human	三軍總醫院
	13	Osteosarcoma	Dog	美國紐約動物醫學中心
	14	Mixed germ-cell stromal tumor, mixed sertoli cell and seminoma-like cell tumor	Dog	美國紐約動物醫學中心
	14	Krukenberg's Tumor	Human	台北病理中心
	14	Primary insular carcinoid tumor arising from cystic teratoma of ovary.	Human	花蓮慈濟綜合醫院
	14	Polypoid adenomyoma	Human	大甲李綜合醫院
	14	Gonadal stromal tumor	Human	耕莘醫院
	14	Gestational choriocarcinoma	Human	彰化基督教醫院
	14	Ovarian granulosa cell tumor	Horse	中興大學獸醫學系
	15	Kaposi's sarcoma	Human	華濟醫院
	15	Basal cell carcinoma (BCC)	Human	羅東聖母醫院
	15	Transmissible venereal tumor	Dog	臺灣大學獸醫學系
	17	Canine Glioblastoma Multiforme in Cerebellopontine Angle	Dog	中興大學獸醫病理研究所
143	18	Osteosarcoma associated with metallic implants	Dog	紐約動物醫學中心
144	18	Radiation-induced osteogenic sarcoma	Human	花蓮慈濟綜合醫院
145	18	Osteosarcoma, osteogenic	Dog	臺灣大學獸醫學系
146	18	Pleomorphic rhabdomyosarcoma	Human	行政院衛生署新竹醫院

147	18	Papillary Mesothelioma of pericardium	Leopard	屏東科大學獸醫學系
148	18	Cystic ameloblastoma	Human	台北醫學院
149	18	Giant cell tumor of bone	Canine	中興大學獸醫學院
150	18	Desmoplastic small round cell tumor (DSRCT)	Human	華濟醫院
152	18	Hepatocellular carcinoma	Human	羅東聖母醫院
158	20	Hemangiopericytoma	Human	羅東聖母醫院
160	20	Cardiac fibroma	Human	高雄醫學大學病理學科
166	21	Nephroblastoma	Rabbit	紐約動物醫學中心
168	21	Nephroblastoma	Pig	台灣動物科技研究所
169	21	Nephroblastoma with rhabdomyoblastic differentiation	Human	高雄醫學大學病理科
172	21	Spindle cell sarcoma	Human	羅東聖母醫院
174	21	Juxtaglomerular cell tumor	Human	新光醫院病理檢驗科
190	27	Angiosarcoma	Human	高雄醫學大學病理學科
192	27	Cardiac myxoma	Human	彰化基督教醫院病理科
194	27	Kasabach-Merrit syndrome	Human	慈濟醫院病理科
195	27	Metastatic hepatocellular carcinoma, right atrium	Human	新光醫院病理科
197	27	Papillary fibroelastoma of aortic valve	Human	新光醫院病理科
198	27	Extraplacental chorioangioma	Human	耕莘醫院病理科
208	30	Granulocytic sarcoma (Chloroma) of uterine cervix	Human	高雄醫學大學病理學科
210	30	Primary non-Hodgkin's lymphoma of bone, diffuse large B cell, right humerus	Human	彰化基督教醫院病理科
213	30	Lymphoma, multi-centric type	Dog	中興大學獸醫系
214	30	CD30 (Ki-1)-positive anaplastic large cell lymphoma (ALCL)	Human	新光醫院病理科
215	30	Lymphoma, mixed type	Koala	台灣大學獸醫學系
217	30	Mucosal associated lymphoid tissue (MALT) lymphoma, small intestine	Cat	臺灣大學獸醫學研究所
	31	Nasal type NK/T cell lymphoma	Human	高雄醫學大學病理科
	31	Acquired immunodeficiency syndrome	Human	慈濟醫院病理科

		(AIDS)with disseminated Kaposi's sarcoma		
	32	Epithelioid sarcoma	Human	彰化基督教醫院病理科
	32	Cutaneous B cell lymphoma, eyelid , bilateral	Human	羅東聖母醫院病理科
	32	Extramammary Paget's disease (EMPD) of the scrotum	Human	萬芳北醫皮膚科病理科
	32	Skin, back, excision, CD30+diffuse large B cell lymphoma, Soft tissue, leg , side not stated, excision, vascular leiomyoma	Human	高雄醫學大學附設醫院病理科
	34	Malignant melanoma, metastasis to intra-abdominal cavity	Human	財團法人天主教耕莘醫院病理科
	34	Vaccine-associated rhabdomyosarcoma	Cat	台灣大學獸醫學系
	34	1. Pleura: fibrous plaque 2. Lung: adenocarcinoma 3. Brain: metastatic adenocarcinoma	Human	高雄醫學大學附設中和醫院病理科
	34	1. Neurofibromatosis, type I 2. Malignant peripheral nerve sheath tumor (MPNST)	Human	花蓮慈濟醫院病理科
	35	Glioblastoma multiforme	Human	羅東聖母醫院
	35	Pineoblastoma	Wistar rat	綠色四季
	35	Chordoid meningioma	Human	高醫病理科
	35	Infiltrating lobular carcinoma of left breast with meningeal carcinomatosis and brain metastasis	Human	花蓮慈濟醫院病理科
	35	Microcystic Meningioma.	Human	耕莘醫院病理科
	36	Well-differentiated fetal adenocarcinoma without lymph node metastasis	Human	新光吳火獅紀念醫院
	36	Adenocarcinoma of lung.	Human	羅東聖母醫院
	36	Renal cell carcinoma	Canine	國立台灣大學獸醫學系 獸醫學研究所
	36	Clear cell variant of squamous cell carcinoma, lung	Human	高雄醫學大學附設中和醫院病理科

	37	Metastatic adrenal cortical carcinoma	Human	耕莘醫院病理科
	37	Hashimoto's thyroiditis with diffuse large B cell lymphoma and papillary carcinoma	Human	高雄醫學大學附設中和醫院病理科
	38	Medullar thyroid carcinoma	Canine	臺灣大學獸醫學系
	39	Merkel cell carcinoma	Human	羅東博愛醫院
	39	Cholangiocarcinoma	Human	耕莘醫院病理科
	39	Sarcomatoid carcinoma of renal pelvis	Human	花蓮慈濟醫院病理科
	39	Mammary Carcinoma	Canine	中興大學獸醫學系
	39	Metastatic prostatic adenocarcinoma	Human	耕莘醫院病理科
	39	Malignant canine peripheral nerve sheath tumors	Canine	臺灣大學獸醫學系
	39	Sarcomatoid carcinoma, lung	Human	羅東聖母醫院
	40	Vertebra, T12, laminectomy, metastatic adenoid cystic carcinoma	Human	彰化基督教醫院
	40	rhabdomyosarcoma	Canine	臺灣大學獸醫學系
	40	Fetal rhabdomyosarcoma	SD Rat	中興大學獸醫學系
	40	Adenocarcinoma, metastatic, iris, eye	Human	高雄醫學大學
	40	Axillary lymph node metastasis from an occult breast cancer	Human	羅東博愛醫院
	40	Hepatocellular carcinoma	Human	國軍桃園總醫院
	40	Feline diffuse iris melanoma	Feline	中興大學獸醫學系
	40	Metastatic malignant melanoma in the brain and inguinal lymph node	Human	花蓮慈濟醫院病理科
	41	Tonsil Angiosarcoma	Human	羅東博愛醫院
	41	Malignant mixed mullerian tumor	Human	耕莘醫院病理科
	41	Renal cell tumor	Rat	中興大學獸醫學系
	41	Multiple Myeloma	Human	花蓮慈濟醫院病理科
	41	Myopericytoma	Human	新光吳火獅紀念醫院
	41	Extramedullary plasmacytoma with amyloidosis	Canine	臺灣大學獸醫學系
	42	Metastatic follicular carcinoma	Human	羅東聖母醫院病理科
	42	Primitive neuroectodermal tumor (PNET), T-spine.	Human	羅東博愛醫院病理科
	42	Hemangioendothelioma of bone	Human	花蓮慈濟醫院病理科

	42	Malignant tumor with perivascular epithelioid differentiation, favored malignant PEComa	Human	彰化基督教醫院
	43	Mucin-producing cholangiocarcinoma	Human	基隆長庚醫院
	43	Cutaneous epitheliotropic lymphoma	Canine	臺灣大學獸醫專業學院
	43	Cholangiocarcinoma	Felis Lynx	臺灣大學獸醫專業學院
	43	Lymphoma	Canine	臺灣大學獸醫專業學院
	43	Solitary fibrous tumor	Human	彰化基督教醫院
	43	Multiple sarcoma	Canine	臺灣大學獸醫專業學院
	44	Malignant solitary fibrous tumor of pleura	Human	佛教慈濟綜合醫院暨慈濟大學
	44	Ectopic thymic carcinoma	Human	彰濱秀傳紀念醫院病理科
	44	Medullary carcinoma of the right lobe of thyroid	Human	彰化基督教醫院病理科
	44	Thyroid carcinosarcoma with cartilage and osteoid formation	Canine	臺灣大學獸醫專業學院
	44	Lymphocytic leukemia/lymphoma	Koala	臺灣大學獸醫專業學院
	45	Neuroendocrine carcinoma of liver	Human	佛教慈濟綜合醫院暨慈濟大學
	45	Parachordoma	Human	羅東博愛醫院病理科
	45	Carcinoma expleomorphic adenoma, submandibular gland	Human	天主教耕莘醫院病理科
	45	Melanoma, tongue	Canine	國立臺灣大學獸醫專業學院
	45	Renal cell carcinoma, papillary type	Canine	國立臺灣大學獸醫專業學院
323	46	Metastatic papillary serous cystadenocarcinoma, abdomen	Human	國軍桃園總醫院
324	46	Malignant gastrointestinal stromal tumor	Human	天主教耕莘醫院
329	47	Sclerosing stromal tumor	Human	彰化基督教醫院
330	47	Pheochromocytoma	Human	天主教耕莘醫院
334	48	Metastatic infiltrating ductal carcinoma, liver	Human	佛教慈濟綜合醫院

335	48	Adenoid cystic carcinoma, grade II, Rt breast	Human	天主教耕莘醫院
336	48	Malignant lymphoma, diffuse, large B-cell, right neck	Human	林新醫院
337	48	Pulmonary carcinoma, multicentric	Dog	國立臺灣大學 獸醫專業學院
338	48	Malignant melanoma, multiple organs metastasis	Rabbit	國立中興大學獸醫學院
340	49	Mucinous-producing urothelial-type adenocarcinoma of prostate	Human	天主教耕莘醫院
342	49	Plexiform fibromyxoma	Human	彰化基督教醫院
343	49	Malignant epithelioid trophoblastic tumor	Human	佛教慈濟綜合醫院
344	49	Epithelioid sarcoma	Human	林新醫院
346	49	Transmissible venereal tumor	Dog	國立臺灣大學獸醫專業 學院
347	50	Ewing's sarcoma (PNET/ES tumor)	Human	天主教耕莘醫院病理科
348	50	Malignant peripheral nerve sheath tumor, epithelioid type	Human	林新醫院病理科
349	50	Low grade fibromyxoid sarcoma	Human	高雄醫學大學附設 中和紀念醫院病理科
351	50	Orbital embryonal rhabdomyosarcoma	Dog	Gifu University, Japan (岐 阜大学)
354	50	Granular cell tumor	Dog	國立臺灣大學 獸醫專業學院
356	50	Malignant neoplasm of unknown origin, cerebrum	Dog	國立臺灣大學 獸醫專業學院
357	51	Small cell Carcinoma, Urinary bladder	Human	天主教耕莘醫院
364	51	Perivascular epithelioid cell tumor, in favor of lymphangiomyomatosi	Human	高雄醫學大學附設中和 紀念醫院病理科
365	52	Angiosarcoma, skin (mastectomy)	Human	天主教耕莘醫院病理科
366	52	Rhabdomyoma (Purkinjeoma), heart	Swine	屏東縣家畜疾病防治所
368	52	Langerhans cell sarcoma, lung	Human	高雄醫學大學附設中和 紀念醫院病理科
369	52	Biliary cystadenocarcinoma, liver	Camel	國立屏東科技大學獸醫 教學醫院病理科
371	52	Malignant melanoma, nasal cavity	Human	羅東博愛醫院病理科

373	53	Malignant giant cell tumor of tendon sheath	Human	天主教耕莘醫院病理科
376	53	Malignant mesothelioma of tunica vaginalis	Golden hamster	中興大學獸醫病理生物學研究所
377	53	Perivascular Epithelioid Cell Tumor (PEComa) of the uterus	Human	彰化基督教醫院病理部
378	53	Medullary carcinoma	Human	高雄醫學大學病理部
389	55	Mantle cell lymphoma involving ascending colon, cecum, ileum, appendix and regional lymph nodes with hemorrhagic necrosis in the colon and leukemic change.	Human	奇美醫院病理部
390	55	Pulmonary Squamous Cells Carcinoma of a Canine	Dog	國立屏東科技大學獸醫教學醫院病理科
391	55	Squamous cell carcinoma, lymphoepithelioma-like type	Human	高醫附設醫院病理科
393	55	Malignant peripheral nerve sheath tumor (MPNST), subcutis, canine.	Dog	中興大學獸醫學系
394	55	Desmoplastic malignant melanoma (mimic malignant peripheral nerve sheath tumor)	Human	中山醫學大學醫學系病理學科暨附設醫院病理科
397	56	Atypical meningioma	Human	奇美醫院病理科
401	57	Lymph nodes, excision - Hodgkin's lymphoma, mixed cellularity	Human	天主教耕莘醫院
402	57	1. Leukemia, nonlymphoid, granulocytic, involving bone marrow, spleen, liver, heart, lungs, lymph nodes, kidney, hardian gland, duodenum and pancreas. 2. Pinworm infestation, moderate, large intestines. 3. Fibrosis, focal, myocardium.	Mouse	國家實驗動物中心
403	57	Non-secretory multiple myeloma with systemic amyloidosis	Human	佛教慈濟綜合醫院暨慈濟大學病理科
404	57	1. Hepatocellular adenocarcinoma, multifocal, severe, liver 2. Hemorrhage, moderate, acute, body cavity 3. Bumble foot, focal, mild, chronic, food pad	Goose	國立中興大學獸醫病理生物學研究所

		4. cyst and atherosclerosis, chronic, testis		
406	57	Castleman's disease	Human	羅東博愛醫院
407	58	Hepatoid adenocarcinoma of colon with multiple liver metastases	Human	羅東博愛醫院
408	58	Cardiac and pulmonary melanoma	Pig	國立中興大學獸醫病理生物學研究所
409	58	Double Tumors: (1) small cell carcinoma of lung (2) Hodgkin's lymphoma, mixed cellularity type. Acrokeratosis paraneoplastica	Human	佛教慈濟綜合醫院暨慈濟大學病理科
410	58	Von Hippel-Lindau disease	Human	奇美醫院病理部
411	58	Multiple neoplasia	Tiger	國立屏東科技大學獸醫教學醫院病理科
412	58	Hepatocellular carcinoma and multiple myeloma	Human	中山醫學大學醫學系病理學科暨附設醫院病理科
413	59	DEN plus AAF carcinogens induced hepatic tumor in male rats	Rat	中興大學獸醫病理生物學研究所
417	59	Alveolar soft part sarcoma	Human	高雄醫學大學附設中和紀念醫院病理科
418	60	Seminoma associated with supernumerary testicles	Human	羅東博愛醫院
422	61	Retinoblastoma in a baby girl	Human	彰化基督教醫院
423	61	Colloid goiter in a female Radiated tortoise (<i>Astrochelys radiata</i>)	Tortoise	台灣大學獸醫專業學院分子暨比較病理生物學研究所
424	61	Lymphoepithelial carcinoma in a women	Human	羅東博愛醫院
425	61	Histiocytic sarcoma in a SJL/J mouse	mouse	國家實驗動物中心
428	62	Maligant lymphoma, diffuse large B-cell (DLBCL) in a women	Human	國軍桃園總醫院病理檢驗部
429	62	Immune reconstitution inflammatory syndrome (IRIS)-associated Kaposi's sarcoma in a man	Human	花蓮慈濟醫院
430	62	Mammary adenocarcinoma, tubular form in a female feline	Cat	中興大學獸醫病理生物學研究所

433	62	Rhabdomyosarcoma, retroperitoneal cavity in a female mouse	Mouse	國家實驗動物中心
434	62	Malignant pheochromocytoma with pleural metastasis in a man	Human	天主教聖馬爾定醫院病理科
436	63	Primary non-Hodgkins lymphoma of terminal ileum	Human	國軍桃園總醫院病理檢驗部
438	63	Ectopic thyroid gland tumor	Beagle	台灣大學獸醫專業學院分子暨比較病理生物學研究所
440	63	Hepatocellular cell carcinoma Squamous cell carcinoma	Human	天主教聖馬爾定醫院口腔顎面外科
442	64	Large B cell lymphoma in a man	Human	羅東博愛醫院
444	64	Olfactory neuroblastoma in a female cat	Cat	台灣大學獸醫專業學院分子暨比較病理生物學研究所
445	64	Oligodendroglioma in a man	Human	國軍桃園總醫院病理檢驗部
447	64	Ameloblastoma of mandible in a man	Human	天主教聖馬爾定醫院口腔顎面外科
448	65	EBV associated extranodal NK / T-cell lymphoma, nasal type	Human	羅東博愛醫院
451	65	Mouse, subcutaneously mass – exocrine pancreatic adenocarcinoma, AsPC-1 cells, human origin, heterotopical model	Mouse	國家實驗動物中心
452	65	1. Extranodal NK/T-cell lymphoma, nasal type 2. 2. Regional lymph nodes and omentum are involved.	Human	台中醫院
457	66	Metastatic squamous cell carcinoma (SCC)	Horse	台灣大學獸醫專業學院分子暨比較病理生物學研究所
459	66	Squamous intraepithelial lesion (SIL)	Human	高雄醫學大學附設醫院病理部
460	66	Subcutaneous liposarcoma and uterine endometrial stromal sarcoma	African hedgehog	中興大學獸醫病理生物學研究所

463	67	Splenic undifferentiated pleomorphic sarcoma in a Djungarian hamster	Hamster	國立中興大學獸醫教學醫院鳥禽與野生動物科
465	67	Plasmacytoid urothelial carcinoma	Dog	國立台灣大學獸醫專業學院分子暨比較病理生物學研究所
467	67	1.Poorly differentiated hemangiosarcoma in face 2.Squamous cell carcinoma in ear	Civet	農委會特有生物研究保育中心
473	68	Simple mammary gland adenocarcinoma	Guinea pig	中興大學獸醫病理生物學研究所
476	69	Mediastinum dedifferentiated liposarcoma	Human	羅東博愛醫院
477	69	Uterus adenosarcoma	Hedgehog	中興大學獸醫病理生物學研究所
478	69	Primary pericardial mesothelioma in a woman	Human	佛教慈濟綜合醫院暨慈濟大學病理科
479	69	Pulmonary solid adenocarcinoma	Dog	國立台灣大學獸醫專業學院分子暨比較病理生物學研究所
481	70	Paraganglioma of liver	Human	佛教慈濟綜合醫院暨慈濟大學病理科
482	70	Adenocarcinoma, transmural, recurrent, with desmoplasia and metastasis to regional lymph node, jejunum and ileocecal junction Mast cell tumor, moderately-differentiated, multiple, jejunal and ileocecal masses	Cat	國立台灣大學獸醫專業學院分子暨比較病理生物學研究所
483	70	Solitary fibrous tumor of pelvis	Human	羅東博愛醫院病理科
484	70	Chronic lymphocytic leukemia, with systemic dissemination, bone marrow, intestine, generalized lymph node, spleen, liver, kidney and lung	Dog	國立台灣大學獸醫專業學院分子暨比較病理生物學研究所
485	70	Intestine, large, colon, ascending, -- - Carcinoma, poorly differentiated (pT4aN1b). (ADVANCED) 2. Stomach, distal, --- Adenocarcinoma, moderately	Human	秀傳醫療社團法人秀傳紀念醫院

		differentiated (pT1bNO) (EARLY) (Synchronous cancer)		
487	70	Angiomyolipoma of the liver	Human	衛生福利部臺中醫院病理科
490	71	Xp11.2 translocation renal cell carcinoma	Human	羅東博愛醫院病理科
491	71	Anaplastic renal cell carcinoma	Djungarian hamster	國立中興大學獸醫病理生物學研究所
493	71	Mucin-producing urothelial-type adenocarcinoma of the prostate (MPUAP)	Human	天主教耕莘醫療財團法人耕莘醫院
494	71	Left paratesticular dedifferentiated liposarcoma with leiomyomatous differentiation.	Human	天主教耕莘醫療財團法人耕莘醫院
495	71	Renal nephroblastoma, blastema-predominant with metastasis to gingiva, renal mass	Dog	國立台灣大學獸醫專業學院分子暨比較病理生物學研究所
496	71	Testis, left: Malignant mixed germ cell–sex cord stromal tumor (spermatocytic germinoma and Sertoli cell tumor), with angiolymphatic invasion. Testis, right: Germ cell atrophy, multifocal, moderate.	Dog	長青動物醫院
499	72	Brain, frontal lobe, Lt., Malignant melanoma, consistent with metastatic cutaneous malignant melanoma.	Human	國軍桃園總醫院
501	72	Anaplastic carcinoma thyroid (spindle cell type)	Human	天主教耕莘醫院
502	72	Primitive neuroectodermal tumor (PNET), most likely originating from ureter, with metastasis to liver and involvements of urinary bladder, uterus and left adrenal gland	Formosan serow	臺灣大學獸醫學系
503	72	Metastatic follicular carcinoma	Human	衛生福利部台中醫院
506	73	Type B1 thymoma	Human	天主教耕莘醫院
508	73	Metastatic melanoma	Human	秀傳醫療社團法人秀傳紀念醫院
511	74	Crystal storing histiocytosis associated with multiple myeloma.	Human	羅東博愛醫院病理科

512	74	Myeloid sarcoma	Human	佛教慈濟綜合醫院暨慈濟大學病理科
513	74	Neurolymphomatosis (neurotropic lymphoma), B cell, right musculocutaneous nerve	Cat	國立台灣大學獸醫專業學院分子暨比較病理生物學研究所
514	74	Primary diffuse large B-cell lymphoma (activated B- cell type) of right testis, Stage IE at least	Human	國防醫學院三軍總醫院病理部
515	74	Thymoma, most likely, mediastinal mass	Dolphin	國立台灣大學獸醫專業學院分子暨比較病理生物學研究所
516	74	Extranodal marginal zone lymphoma of mucosa- associated lymphoid tissue (MALT lymphoma)	Human	秀傳醫療社團法人秀傳紀念醫院
517	74	Angioliposarcoma in a Cockatiel	Dog	國立中興大學獸醫病理生物學研究所
520	74	Intravascular diffuse large B cell lymphoma.	Human	國防醫學院三軍總醫院病理部
521	75	Primary anorectal malignant melanoma (PAMM)	Human	國軍桃園總醫院
523	75	Pancreatic panniculitis associated with acinar cell carcinoma	Human	羅東博愛醫院
524	75	Anaplastic large cell lymphoma (ALCL), ALK-negative	Human	秀傳醫療社團法人秀傳紀念醫院
525	75	Canine cutaneous epitheliotropic T-cell lymphoma with the involvement of left axillary lymph node	Dog	國立台灣大學獸醫專業學院分子暨比較病理生物學研究所
528	75	Basal cell carcinoma with sebaceous differentiation	Human	天主教耕莘醫院
529	76	Tongue, Schwannoma	Human	國軍桃園總醫院
530	76	Amyloid-producing odontogenic tumor	Dog	國立台灣大學獸醫專業學院分子暨比較病理生物學研究所
531	76	Embryonal rhabdomyosarcoma	Human	花蓮慈濟大學暨慈濟醫院病理科
532	76	Adenocarcinoma, suspected mammary gland tumor metastasis, mass from iris and partially ciliary bodies of right eye	Cat	國立台灣大學獸醫專業學院分子暨比較病理生物學研究所

533	76	Kaposi's sarcoma, parotid gland.	Human	羅東博愛醫院病理科
537	77	Primary appendiceal mantle cell lymphoma (MCL), B-cell type, caused acute suppurate appendicitis.	Human	國軍桃園總醫院
538	77	Follicular lymphoma in thyroid of nodular goiter.	Human	羅東博愛醫院
544	78	Ectopic parathyroid adenoma, anterior mediastinum.	Human	羅東博愛醫院
547	79	Glucagonoma, pancreas	Human	羅東博愛醫院
548	79	Neuroendocrine carcinoma, skin	Cat	國立台灣大學獸醫專業學院分子暨比較病理生物學研究所
549	79	Paraganglioma of urinary bladder	Human	花蓮慈濟大學暨慈濟醫院病理科
550	79	Hepatic carcinoid (Neuroendocrine carcinoma), liver	Cat	霍普獸醫病理診斷中心
551	79	Strumal carcinoid tumor of the ovary (SCTO) arising from mature cystic teratoma	Human	國軍桃園總醫院
552	79	Pheochromocytoma and Associated Cardiomyopathy	Meerkat (<i>Suricata suricatta</i>)	國立中興大學獸醫病理生物學研究所
553	79	Adrenal, left, laparoscopic adrenalectomy --- Pheochromocytoma, malignant. Staging (pT2)	Human	天主教耕莘醫院
554	80	Carcinoma, sweat gland, with metastases to the lung and cerebrum, the left forelimb 3 rd and 4 th digits, skin	North American cougar (<i>Puma concolor couguar</i>)	國立台灣大學獸醫專業學院分子暨比較病理生物學研究所
555	80	Angiosarcoma, scalp	Human	羅東博愛醫院
559	80	Sebaceous adenoma	Human	天主教耕莘醫院
560	81	Glioblastoma	Human	天主教耕莘醫院
561	81	Transmissible venereal tumor (TVT)	Dog	霍普獸醫病理診斷中心
562	81	Metastatic small cell carcinoma. Right axillary lymph node.	Human	羅東博愛醫院
563	81	Presumptive chronic myelomonocytic leukemia	Central bearded dragon	國立中興大學獸醫病理生物學研究所

			<i>(Pogona vitticeps)</i>	
564	82	Epithelioid gastrointestinal stromal tumor (GIST)	Human	羅東博愛醫院
566	82	Intestine, small bowel, segmental resection,---Primitive neuroectodermal tumor(PNET) / Extraskeletal Ewing sarcoma Lung, needle biopsy,Small blue cell tumor, compatible with primitive neuroectodermal tumor (PNET) metastasis	Human	衛生福利部台中醫院病理科
567	82	Gastric carcinoma, whit lymphatic infiltration, stomach, dog Lymph node metastasis from gastric carcinoma, dog	Dog	國立台灣大學獸醫專業學院分子暨比較病理生物學研究所
568	82	Descending colon, adenocarcinoma, grade 2; C/W FAP syndrome associated advanced CRC.	Human	國軍桃園總醫院
569	83	Gastric Schwannoma	Human	羅東博愛醫院
571	83	Feline inductive odontogenic tumor (FIOT), cat	Cat	霍普獸醫病理診斷中心
573	83	Multiple primary malignant (MPM) (Synchronous / metachronous? or metastatic) non-Hodgkin lymphomas (DLBCLs) of the jejunum with JJ intussusception with mesenteric lymph nodal and pleural involvement.	Human	國軍桃園總醫院
574	84	Testicular carcinoid	Human	羅東博愛醫院
577	84	Testis, Lt., Primary diffuse large B-cell lymphoma (DLBCL) / Primary testicular (DLBCL)-PT-DLBCL	Human	國軍桃園總醫院
579	85	Mixed germ cell tumor (seminoma and mature teratoma)	Human	三軍總醫院
580	85	Renal cell carcinoma	Dog	國立台灣大學獸醫專業學院分子暨比較病理生物學研究所
581	85	Leiomyoma with ovarian sex cord-like elements	Human	羅東博愛醫院
582	85	Endometrial stromal sarcoma and endometrial polyp, uterus	Hedgehog	霍普獸醫病理診斷中心
583	85	Uterine papillary serous carcinoma, metastatic	Human	國軍桃園總醫院

585	86	T-cell rich large B-cell lymphoma (TCRLBCL)	Cat	國立台灣大學獸醫專業學院分子暨比較病理生物學研究所
586	86	Epithelioid sarcoma, right hand.	Human	羅東博愛醫院
587	86	Precursor T-cell lymphoblastic lymphoma (Pre-T LBL, thymic lymphoma)	Mouse	國立中興大學獸醫病理生物學研究所
588	86	Soft tissue, right hypochondriac (flank), excision: Hepatocellular cell carcinoma (HCC), metastatic.	Human	國軍桃園總醫院
590	87	Glandular cardiac myxoma, heart.	Human	羅東博愛醫院
594	88	Malignant pleural mesothelioma	Human	國軍桃園總醫院
597	88	Bronchial carcinoma	Dog	國立台灣大學獸醫專業學院分子暨比較病理生物學研究所
598	89	Warthin-like mucoepidermoid carcinom	Human	羅東博愛醫院
599	89	Gastric carcinoma	Dog	長青動物醫院
600	89	Primary appendiceal signet-ring cell carcinoma	Human	國軍桃園總醫院
609	91	Small cell carcinoma, urinary bladder	Human	羅東博愛醫院
610	91	squamous cell carcinoma and urothelial carcinoma in a dog	Dog	國立中興大學獸醫病理生物學研究所
611	91	Primary testicular dedifferentiated liposarcoma	Human	國軍桃園總醫院
612	91	Renal hemangiosarcoma	Dog	霍普獸醫病理診斷中心
613	91	Papillary renal neoplasm with reverse polarity	Human	三軍總醫院
614	91	Nephroblastoma	Feline	國立台灣大學獸醫專業學院分子暨比較病理生物學研究所
616	92	Choriocarcinoma	Human	國軍桃園總醫院
617	92	Uterine adenocarcinoma	Feline	霍普獸醫病理診斷中心
618	92	Adenoid basal carcinoma	Human	羅東博愛醫院

細菌

病例編號	會議場次	診 斷	動物別	提供單位
	1	Tuberculosis	Monkey	臺灣大學獸醫學系
7.	1	Tuberculosis	Human	省立新竹醫院

12.	2	H. pylori-induced gastritis	Human	台北病理中心
13.	2	Pseudomembranous colitis	Human	省立新竹醫院
26.	3	Swine salmonellosis	Pig	中興大學獸醫學系
27.	3	Vegetative valvular endocarditis	Pig	台灣養豬科學研究所
28.	4	Nocardiosis	Human	台灣省立新竹醫院
29.	4	Nocardiosis	Largemouth bass	屏東縣家畜疾病防治所
32.	4	Actinomycosis	Human	台灣省立豐原醫院
33.	4	Tuberculosis	Human	苗栗頭份為恭紀念醫院
53.	7	Intracavitary aspergilloma and cavitory tuberculosis, lung.	Human	羅東聖母醫院
54.	7	Fibrocalcified pulmonary TB, left Apex. Mixed actinomycosis and aspergillosis lung infection with abscess DM, NIDDM.	Human	林口長庚紀念醫院
58.	7	Tuberculous enteritis with perforation	Human	佛教慈濟綜合醫院
61.	8	Spirochetosis	Goose	國立嘉義農專獸醫科
63.	8	Proliferative enteritis (Lawsonia intracellularis infection)	Porcine	屏東縣家畜疾病防治所
68.	9	Liver abscess (Klebsillae pneumoniae)	Human	台北醫學院
	10	Xanthogranulomatous inflammation with nephrolithiasis, kidney, right. Ureteral stone, right.	Human	羅東聖母醫院
	10	Emphysematous pyelonephritis	Human	彰化基督教醫院
89.	10	Severe visceral gout due to kidney damaged Infectious serositis	Goose	中興大學獸醫學系
	13	Listeric encephalitis	Lamb	屏東縣家畜疾病防治所
	13	Tuberculous meningitis	Human	羅東聖母醫院
	16	Swine salmonellosis with meningitis	Swine	中興大學獸醫學系
	16	Meningoencephalitis, fibrinopurulent and lymphocytic, diffuse, subacute, moderate, cerebrum, cerebellum and brain	Swine	國家實驗動物繁殖及研究中心

		stem, caused by Streptococcus spp. infection		
	17	Coliform septicemia of newborn calf	Calf	屏東縣家畜疾病防治所
	20	Porcine polyserositis and arthritis (Glasser's disease)	Pig	中興大學獸醫學院
	20	Mycotic aneurysm of jejunal artery secondary to infective endocarditis	Human	慈濟醫院病理科
	21	Chronic nephritis caused by Leptospira spp	Pig	中興大學獸醫學院
	21	Ureteropyelitis and cystitis	Pig	中國化學製藥公司
	36	Pulmonary actinomycosis.	Human	耕莘醫院病理科
	37	Tuberculous peritonitis	Human	彰化基督教醫院病理科
	38	Septicemic salmonellosis	Piglet	屏東科技大學獸醫系
	38	Leptospirosis	Human	慈濟醫院病理科
	39	Mycobacteriosis	Soft turtles	屏東科技大學獸醫系
	42	Staphylococcus spp. infection	Formosa Macaque	中興大學獸醫病理學研究所
	42	Leptospirosis	Dog	台灣大學獸醫學系
	43	Leptospirosis	Human	花蓮慈濟醫院
	43	Cryptococcus and Tuberculosis	Human	彰濱秀傳紀念醫院
319	46	Placentitis, Coxiella burnetii	Goat	台灣動物科技研究所
321	46	Pneumonia, Burkholderia pseudomallei	Goat	屏東縣家畜疾病防治所
339	48	Mycoplasmosis	Rat	國家實驗動物中心
352	50	Chromobacterium violaceum Septicemia	Gibbon	Bogor Agricultural University, Indonesia
353	50	Salmonellosis	Pig	國立中興大學 獸醫學院
367	52	Melioidosis (Burkholderia pseudomallei), lung	Human	花蓮慈濟醫院
370	52	Suppurative bronchopneumonia (Bordetellae trematum) with Trichosomoides crassicauda infestation	Rat	國立中興大學獸醫學院
374	53	Pulmonary coccidiomycosis	Human	彰化基督教醫院
375	53	Paratuberculosis in Macaca cyclopis	Macaca cyclopis	國立屏東科技大學獸醫學院
379	53	Bovine Johne's disease (BJD) or paratuberculosis of cattle	Dairy cow	屏東縣家畜疾病防治所

380	53	NTB, Mycobacterium abscessus	Human	佛教慈濟綜合醫院暨慈濟大學病理科
382	54	Leptospirosis	Pig	國立屏東科技大學獸醫學院
384	54	Neisseria Infected Pneumonitis	Cat	中興大學獸醫學系
385	54	Mycobacteria avian complex dacryocystitis	Human	花蓮佛教慈濟綜合醫院
387	54	Swine Erysipelas	Pig	屏東縣家畜疾病防治所
396	56	Suppurative meningitis caused by Streptococcus spp in pigs	Pig	國立中興大學獸醫病理生物學研究所
399	56	Listeric encephalitis in dairy goats	Goat	屏東縣家畜疾病防治所
435	63	Tuberculosis	Human	花蓮佛教慈濟綜合醫院
438	63	Porcine proliferative enteritis (PPE)	Pig	國立中興大學獸醫病理生物學研究所
446	64	Actinomycosis (lumpy jaw) in a dairy cattle	Cattle	國立中興大學獸醫病理生物學研究所
450	65	Mycobacterium avium infection	Human	花蓮佛教慈濟綜合醫院
464	67	Ulcerative actinomycotic squamous plaque with focal (basal) severe dysplasia, mucosa, gingivobuccal junction, right lower gingiva in a man	Human	嘉義聖馬爾定醫院
469	68	Scrub typhus	Human	佛教慈濟綜合醫院暨慈濟大學
489	71	Malakoplakia due to Escherichia coli infection, left testis	Human	佛教慈濟綜合醫院暨慈濟大學
492	71	Cystitis, bilateral ureteritis and pyelonephritis, hemorrhagic, necrotic, purulent, severe, diffuse, chronic progressive, urinary bladder, ureters and kidneys	Dog	國立中興大學獸醫病理生物學研究所
522	75	Secondary syphilis	Human	佛教慈濟綜合醫院暨慈濟大學
526	75	Dermatophilosis caused by <i>Austwickia chelonae</i> (basonym <i>Dermatophilus chelonae</i>) in a free-ranging wild Taiwanese japalure	Taiwanese japalure	台灣大學獸醫學系
584	85	<i>Salmonella</i> Enteritidis Infection in Chicks	Chicks	國立中興大學獸醫病理生物學研究所

病毒

病例編號	會議場次	診 斷	動物別	提供單位
21.	3	Newcastle disease	Chicken	台灣大學獸醫學系
22.	3	Herpesvirus infection	Goldfish	台灣大學獸醫學系
30.	4	Demyelinating canine distemper encephalitis	Dog	台灣養豬科學研究所
31.	4	Adenovirus infection	Malayan sun bears	台灣大學獸醫學系
50.	7	Porcine cytomegalovirus infection	Piglet	台灣省家畜衛生試驗所
55.	7	Infectious laryngo-tracheitis (Herpesvirus infection)	Broilers	國立屏東技術學院獸醫學系
69.	9	Pseudorabies (Herpesvirus infection)	Pig	台灣養豬科學研究所
78.	10	Marek's disease in native chicken	Chicken	屏東縣家畜疾病防治所
92.	11	Foot- and- mouth disease (FMD)	Pig	屏東縣家畜疾病防治所
101.	11	Swine pox	Pig	屏東科技大學獸醫學系
	13	Pseudorabies	Piglet	國立屏東科技大學
	13	Avian encephalomyelitis	Chicken	國立中興大學
	15	Contagious pustular dermatitis	Goat	屏東縣&台東縣家畜疾病防治所
	15	Fowl pox and Marek's disease	Chicken	中興大學獸醫學系
	16	Japanese encephalitis	Human	花蓮佛教慈濟綜合醫院
	17	Viral encephalitis, polyomavirus infection	Lory	美國紐約動物醫學中心
	17	1. Aspergillus spp. encephalitis and myocarditis 2. Demyelinating canine distemper encephalitis	Dog	台灣大學獸醫學系
	19	Enterovirus 71 infection	Human	彰化基督教醫院
	19	Ebola virus infection	African Green monkey	行政院國家科學委員會實驗動物中心
	19	Rabies	Longhorn Steer	台灣大學獸醫學系
	20	Parvoviral myocarditis	Goose	屏東科技大學獸醫學系
	28	SARS	Human	台大醫院病理科
	28	TGE virus	swine	臺灣動物科技研究所

	28	Feline infectious peritonitis(FIP)	Feline	台灣大學獸醫學系
	30	Chicken Infectious Anemia (CIA)	Layer	屏東防治所
219	31	1. Lymph node:Lymphdenitis, with lymphocytic depletion and intrahistiocytic basophilic cytoplasmic inclusion bodies. Etiology consistent with Porcine Circovirus (PCV)infection. 2. Lung: Bronchointerstitial pneumonia, moderate, lymphoplasmacytic, subacute.	Pig	臺灣動物科技研究所
220	31	Cytomegalovirus colitis	Human	彰化基督教醫院病理科
221	31	Canine distemper virus Canine adenovirus type II co-infection	Canine	國家實驗動物繁殖及研究中心
223	32	1. Skin, mucocutaneous junction (lip): Cheilitis, subacute, diffuse, sever, with epidermal pustules, ballooning degeneration, proliferation, and eosinophilic intracytoplasmic inclusion bodies, Saanen goat. 2. Haired skin: Dermatitis, proliferative, lymphoplasmacytic, subacute, diffuse, sever, with marked epidermal pustules, ballooning degeneration, acanthosis, hyperkeratosis, and eosinophilic intracytoplasmic inclusion bodies.	Goat	台灣動物科技研究所
238	35	Hydranencephaly	Cattle	國立屏東科技大學獸醫學系
248	36	Porcine Cytomegalovirus (PCMV) infection	Swine	國立屏東科技大學獸醫學系
250	36	Porcine respiratory disease complex (PRDC) and polyserositis, caused by co-infection with pseudorabies (PR) virus, porcine circovirus type 2 (PCV 2), porcine reproductive and respiratory syndrome (PRRS)	Swine	屏東縣家畜疾病防所

		virus and Salmonella typhimurium.		
255	37	Vaccine-induced canine distemper	gray foxes	國立台灣大學獸醫學系
265	39	Bronchointerstitial pneumonia (PCV II infection)	Swine	台灣大學獸醫學系
295	42	Feline infectious peritonitis (FIP)	Cat	中興大學獸醫病理所
362	51	Canine distemper virus infection combined pulmonary dirofilariasis	Dog	國家實驗研究院
381	54	Polyomavirus infection of urinary tract	Human	羅東博愛醫院
405	57	Porcine circovirus-associated lymphadenitis	Swine	國立屏東科技大學 獸醫教學醫院病理科
414	59	Rabies virus infection	Human	佛教慈濟綜合醫院暨慈濟大學病理科
415	59	Canine distemper virus infection	Dog	台灣大學獸醫專業學院 分子暨比較病理生物學 研究所
420	60	Respiratory syncytial virus infection	Human	佛教慈濟綜合醫院暨慈濟大學病理科
421	60	Porcine epidemic diarrhea (PED)	Piglet	國立中興大學獸醫病理 生物學研究所
455	66	Goose Haemorrhagic Polyomaviruses (GHPV)	Goose	農委會家畜衛生試驗所
456	66	HPV associated small cell neuroendocrine carcinoma of uterine cervix	Human	羅東博愛醫院病理科
458	66	Roventricular dilatation disease (PDD)	Cacatuini	國立中興大學獸醫病理 生物學研究所
468	68	Avian poxvirus	Eagle	國立中興大學獸醫病理 生物學研究所
472	68	Suspected viral infection with secondary aspergillosis	Parrot	國立中興大學獸醫病理 生物學研究所
510	73	Porcine reproductive and respiratory syndrome (PRRS)	pig	國立中興大學獸醫病理 生物學研究所
542	78	Feline infectious peritonitis (FIP)	Cat	國立台灣大學獸醫專業 學院分子暨比較病理生 物學研究所
543	78	Porcine epidemic diarrhea (PED)	Pig	國立中興大學獸醫系
556	80	Cutaneous pigeonpox	Pigeon	國立中興大學獸醫系

596	88	Porcine respiratory disease complex	Pig	國立中興大學獸醫系
602	89	Bovine viral diarrhea-mucosal disease	Cattle	國立中興大學獸醫系

黴菌（含藻類）

病例編號	會議場次	診 斷	動物別	提供單位
23.	3	Chromomycosis	Human	台北病理中心
47.	7	Lung: metastatic carcinoma associated with cryptococcal infection. Liver: metastatic carcinoma. Adrenal gland, right: carcinoma (primary)	Human	三軍總醫院
48.	7	Adiaspiromycosis	Wild rodents	台灣大學獸醫學系
52.	7	Aspergillosis	Goslings	屏東縣家畜疾病防治所
53.	7	Intracavitary aspergilloma and cavitory tuberculosis, lung.	Human	羅東聖母醫院
54.	7	Fibrocalcified pulmonary TB, left Apex. Mixed actinomycosis and aspergillosis lung infection with abscess DM, NIDDM.	Human	林口長庚紀念醫院
105.	13	Mucormycosis Diabetes mellitus	Human	花蓮佛教慈濟綜合醫院
	15	Eumycotic mycetoma	Human	花蓮佛教慈濟綜合醫院
	17	1. Aspergillus spp. encephalitis and myocarditis 2. Demyelinating canine distemper encephalitis	Dog	台灣大學獸醫學系
	43	Systemic Candidiasis	Tortoise	中興大學獸醫學院
	45	Alfatoxicosis in dogs	Canine	國立臺灣大學 獸醫專業學院
322	46	Allergic fungal sinusitis	Human	羅東博愛醫院
326	46	Meningoencephalitis, Aspergillus flavus	Cat	國立臺灣大學 獸醫專業學院
331	47	Histoplasmosis	Human	花蓮慈濟醫院病理科
332	47	Pulmonary Blastomycosis	Rat	中興大學獸醫學院
355	50	Encephalitozoonosis	Rabbit	國立中興大學獸醫學院

356	50	Eosinophilic granuloma with fungal infection, Skin	Cat	國立臺灣大學獸醫專業學院
386	54	Dermatophytic pseudomycetoma	Cat	台灣動物科技研究所
395	56	Systemic Cryptococcus neoformans infection in a Golden Retriever	Dog	國立台灣大學分子暨比較病理生物學研究所
441	63	Protothecosis	Dog	國家實驗動物繁殖及研究中心
449	65	Porcine epidemic diarrhea (PED)	Pig	國立台灣大學分子暨比較病理生物學研究所
519	75	Chicken infectious anemia in chicken	Chicken	國立中興大學獸醫學院
536	77	Skin infection of Orf virus	Human	佛教慈濟醫療財團法人花蓮慈濟醫院
545	78	Candida endocarditis	Human	佛教慈濟醫療財團法人花蓮慈濟醫院
570	83	Protothecosis	Dog	立眾生技有限公司
595	88	Cryptococcosis	Cat	霍普獸醫病理診斷中心

寄生蟲 (含原蟲)

病例編號	會議場次	診 斷	動物別	提供單位
14.	2	Dirofilariasis	Dog	台灣省家畜衛生試驗所
15.	2	Pulmonary dirofilariasis	Human	台北榮民總醫院
20.	3	Sparganosis	Human	台北榮民總醫院
46.	7	Feline dirofilariasis	Cat	美國紐約動物醫學中心
49.	7	Echinococcosis	Human	台北榮民總醫院
60.	8	Intestinal capillariasis	Human	台北馬偕醫院
64.	8	Adenocarcinoma of sigmoid colon Old schistosomiasis of rectum	Human	省立新竹醫院
66.	8	Echinococcosis	Chapman's zebra	台灣大學獸醫學系
67.	9	Hepatic ascariasis and cholelithiasis	Human	彰化基督教醫院
	13	Parasitic meningoencephalitis, caused by Toxocara canis larvae migration	Dog	臺灣養豬科學研究所
	17	Disseminated strongyloidiasis	Human	花蓮佛教慈濟綜合醫院

	17	Eosinophilic meningitis caused by <i>Angiostrongylus cantonensis</i>	Human	台北榮民總醫院 病理檢驗部
156	19	<i>Parastrongylus cantonensis</i> infection	Formosan gem-faced civet	中興大學獸醫學院
	19	<i>Capillaria hepatica</i> , <i>Angiostrongylus cantonensis</i>	Norway Rat	行政院農業委員會 農業藥物毒物試驗所
	29	Colnorchiasis	Human	高雄醫學院附設醫院
	29	Trichuriasis	Human	彰化基督教醫院
	29	<i>Psoroptes cuniculi</i> infection (Ear mite)	Rabbit	農業藥物毒物試驗所
	29	Pulmonary dirofilariasis	Human	和信治癌中心醫院
	29	<i>Capillaries philippinesis</i>	Human	和信治癌中心醫院
	29	Adenocarcinoma with <i>schistosomiasis</i>	Human	花蓮佛教慈濟綜合醫院
	41	Etiology- consistent with <i>Spironucleus (Hexamita) muris</i>	Rat	國家實驗動物繁殖及研究中心
327	46	Dermatitis, mange infestation	Serow	中興大學獸醫學院
328	46	<i>Trichosomoides crassicauda</i> , urinary bladder	Rat	國家實驗動物中心
362	51	Canine distemper virus infection combined pulmonary dirofilariasis	Dog	國家實驗研究院
370	52	Suppurative bronchopneumonia (<i>Bordetellae trematum</i>) with <i>Trichosomoides crassicauda</i> infestation	Rat	國立中興大學獸醫學院
416	59	Toxoplasmosis in a finless porpoise	Finless porpoise	國立屏東科技大學獸醫 教學醫院病理科
	63	Liver milk spots in pig	Pig	中興大學獸醫病理生物 學研究所
453	66	Liver fluke infection	Buffalo	中興大學獸醫病理生物 學研究所
471	68	Haemosporidian parasite infection	pigeon	國立台灣大學分子暨比 較病理生物學研究所
540	77	Systemic toxoplasmosis	Ring-tailed lemur	國立台灣大學分子暨比 較病理生物學研究所
4.	1	Cryptosporidiosis	Goat	台灣養豬科學研究所
15.	2	Amoebiasis	Lemur fulvus	台灣養豬科學研究所
16.	2	Toxoplasmosis	Squirrel	台灣養豬科學研究所
17.	2	Toxoplasmosis	Pig	屏東技術學院

				獸醫學系
51.	7	Pneumocystis carinii pneumonia	Human	台北病理中心
57.	8	Cecal coccidiosis	Chicken	中興大學獸醫學系
65.	8	Cryptosporidiosis	Carprine	台灣養豬科學研究所
211	30	Avian malaria, African black-footed penguin	Avian	臺灣動物科技研究所
242	35	Neosporosis	Cow	國立屏東科技大學 獸醫學系
263	38	Intestinal amebiasis	Human	彰化基督教醫院病理科
320	46	Cutaneous leishmaniasis	Human	佛教慈濟綜合醫院
325	46	Myocarditis/encephalitis, Toxoplasma gondii	Wallaby	國立臺灣大學獸醫專業學院
443	65	Brain toxoplasmosis in a man	Human	佛教慈濟綜合醫院病理科
462	67	Toxoplasmosis	Human	佛教慈濟綜合醫院病理科
470	68	Leucocytozoonosis	chickens	中興大學獸醫病理生物學研究所
572	83	Systemic Coccidiosis	ducks	中興大學獸醫病理生物學研究所

立克次體

病例編號	會議場次	診 斷	動物別	提供單位
229	32	Necrotizing inflammation due to scrub typhus	Human	佛教慈濟醫院病理科
251	36	Scrub typhus with diffuse alveolar damage in bilateral lungs.	Human	佛教慈濟醫院病理科

其他

病例編號	會議場次	診 斷	動物別	提供單位
216	30	Cytophagic histiocytic panniculitis with terminal hemophagocytic syndrome	Human	佛教慈濟綜合醫院病理科
359	51	Eosinophilic granuloma with fungal infection, Skin	Cat	國立臺灣大學獸醫專業學院

360	51	Septa panniculitis with lymphocytic vasculitis	Human	慈濟綜合醫院暨慈濟大學
9.	2	Perinephric pseudocyst	Cat	台灣大學獸醫學系
10.	2	Choledochocyst	Human	長庚紀念醫院
11.	2	Bile duct ligation	Rat	中興大學獸醫學系
37.	4	Myositis ossificans	Human	台北醫學院
75.	9	Acute yellow phosphorus intoxication	Rabbits	中興大學獸醫學系
76.	10	Polycystic kidney bilateral and renal failure	Cat	美國紐約動物醫學中心
80.	10	Glomerular sclerosis and hyalinosis, segmental, focal, chronic, moderate Benign hypertension	SHR rat	國防醫學院 & 國家實驗動物繁殖及研究中心
83.	10	Phagolysosome-overload nephropathy	SD rats	國家實驗動物繁殖及中心
85.	10	Renal amyloidosis	Dog	台灣養豬科學研究所
89.	10	Severe visceral gout due to kidney damaged infectious serositis	Goose	中興大學獸醫學系
91.	10	Hypervitaminosis D	Orange-rumped agoutis	台灣大學獸醫學系
	14	Cystic endometrial hyperplasia	Dog	臺灣養豬科學研究所
	14	Cystic subsurface epithelial structure (SES)	Dog	國科會實驗動物中心
	15	Superficial necrolytic dermatitis	Dog	美國紐約動物醫學中心
	15	Solitary congenital self-healing histiocytosis	Human	羅東博愛醫院
	15	Alopecia areata	Mouse	國家實驗動物繁殖及研究中心
	17	Avian encephalomalacia (Vitamin E deficiency)	Chicken	國立屏東科技大學獸醫學系
151	18	Osteodystrophia fibrosa	Goat	台灣養豬科學研究所 & 台東縣家畜疾病防治所
	20	Hypertrophic cardiomyopathy	Pig	台灣大學獸醫學系
	21	Chinese herb nephropathy	Human	三軍總醫院病理部及腎臟科
	21	Acute pancreatitis with rhabdomyolysis	Human	慈濟醫院病理科
	21	Malakoplakia	Human	彰化基督教醫院

	25	Darier's disease	Human	高雄醫學大學病理科
191	27	1. Polyarteritis nodosa 2. Hypertrophic Cardiomyopathy	Feline	台灣大學獸醫學系
193	27	Norepinephrin cardiotoxicity	Cat	台中榮總
196	27	Cardiomyopathy (Experimental)	Mice	綠色四季
212	30	Kikuchi disease (histiocytic necrotizing lymphadenitis)	Lymphadenitis	耕莘醫院病理科
225	32	Calcinosis circumscripta, soft tissue of the right thigh, dog	Dog	台灣大學獸醫所
230	34	Hemochromatosis, liver, bird	Bird	台灣大學獸醫學系
234	34	Congenital hyperplastic goiter	Holstein calves	屏東縣家畜疾病防治所
236	34	Hepatic lipidosis (fatty liver)	Rats	中興大學獸醫學病理學研究所
237	35	Arteriovenous malformation (AVM) of cerebrum	Human	耕莘醫院病理科
244	35	Organophosphate induced delayed neurotoxicity in hens	Hens	中興大學獸醫學病理學研究所
257	37	Severe lung fibrosis after chemotherapy in a child with Ataxia- Telangiectasia	Human	慈濟醫院病理科
294	42	Arteriovenous malformation of the left hindlimb	Dog	台灣大學獸醫學系
299	43	Polioencephalomalacia	Goat kid	屏東家畜疾病防治所
310	44	Hyperplastic goiter	Piglet	屏東家畜疾病防治所
311	44	Melamine and cyanuric acid contaminated pet food induced nephrotoxicity	Rat	中興大學獸醫學病理學研究所
318	45	Alfatoxicosis	Canine	國立臺灣大學獸醫專業學院
333	47	Lordosis, C6 to C11	Penguin	國立臺灣大學獸醫專業學院
341	49	Pulmonary placental transmogrification	Human	羅東博愛醫院
345	49	Acute carbofuran intoxication	Jacana	國立中興大學獸醫學院
350	50	Malakoplakia, liver	Human	慈濟綜合醫院暨慈濟大學
351	50	Eosinophilic granuloma, Right suboccipital epidural mass	Human	羅東博愛醫院病理科
359	51	Eosinophilic granuloma with fungal infection, Skin	Cat	國立臺灣大學獸醫專業學院

360	51	Septa panniculitis with lymphocytic vasculitis	Human	慈濟綜合醫院暨慈濟大學
361	51	Hepatotoxicity of SMA-AgNPs	Mouse	國立中興大學獸醫病理生物學研究所
363	51	Hypertrophy osteopathy	Cat	國立臺灣大學獸醫專業學院
372	52	Snake bite suspected, skin and spleen	Monkey (red guenon)	國立臺灣大學獸醫專業學院
383	54	Langerhans cell histiocytosis	Human	聖馬爾定醫院病理科
388	54	Canine protothecosis	Dog	國立臺灣大學獸醫專業學院
392	55	Lithium nephrotoxicity	Human	佛教慈濟綜合醫院暨慈濟大學病理科
398	56	Gamma-knife-radiosurgery-related demyelination	Human	佛教慈濟綜合醫院暨慈濟大學病理科
400	56	Canine Disseminated form Granulomatous Meningoencephalitis (GME)	Dog	國立屏東科技大學獸醫教學醫院病理科
419	60	Mucopolysaccharidosis	Cat	國立中興大學獸醫病理生物學研究所
426	61	Phleboliths in a man	Human	台北醫學大學附設醫院口腔外科口腔病理科
427	61	Visceral gout in a Green iguana (Iguana iguana)	Iguana	中興大學獸醫病理生物學研究所
431	62	pulmonary alveolar proteinosis in a man	Human	羅東博愛醫院病理科
432	62	Congenital pulmonary airways malformation, type 2 in a women	Human	高雄醫學大學附設醫院
437	63	Large solitary luteinized follicular cyst of pregnancy and puerperium	Human	羅東博愛醫院病理科
454	66	Eosinophilic granuloma	Human	佛教慈濟綜合醫院暨慈濟大學病理科
461	67	Intestinal emphysema	Pig	中興大學獸醫病理生物學研究所
466	67	Nodular goiter	Human	彰化秀傳醫院病理科
474	68	Parastrongyliasis (Previously called Angiostrongyliasis)	squirrel	中興大學獸醫病理生物學研究所
475	69	Bronchogenic cyst	Dog	國立臺灣大學獸醫專業學院

480	69	Toxic pneumonitis caused by inhalation of waterproofing spray	Dog	中興大學獸醫學病理學研究所
486	70	IgG4-related sclerosing cholangitis (ISC)	Human	天主教耕莘醫療財團法人耕莘醫院
488	70	Crohn's disease	Human	彰化基督教醫院病理部
Gross	64	Hydronephrosis	Pig	中興大學獸醫病理生物學研究所
Gross	65	1. Traumatic pericarditis, severe, chronic progressive, diffuse, heart. 2. Hardware disease	Cattle	中興大學獸醫病理生物學研究所
497	72	Combined central and peripheral demyelination (CCPD)	Dog	國立臺灣大學獸醫專業學院
498	72	Inflammatory demyelinating pseudotumour	Human	佛教慈濟綜合醫院暨慈濟大學病理科
500	72	Ischemic stroke in a dog	Dog	中興大學獸醫病理生物學研究所
504	73	Autoimmune pancreatitis (IgG4 related pancreatitis)	Human	羅東博愛醫院病理科
505	73	Thrombotic microangiopathy with hemorrhagic infarct of brain, acute myocardial ischemia and acute kidney injury	Human	佛教慈濟綜合醫院暨慈濟大學病理科
507	73	The most likely diagnosis is erythema multiforme (EM).	Dog	國立臺灣大學獸醫專業學院
509	73	Doxorubicin-induced diseases	Chicken	中興大學獸醫病理生物學研究所
518	74	Idiopathic multicentric Castleman disease with abundant IgG4-positive cells	Human	佛教慈濟綜合醫院暨慈濟大學病理科
527	75	Coryneform hyperkeratosis in NOG mice	Mice	中興大學獸醫病理生物學研究所
534	76	Multiple Cartilaginous Exostoses Causing Spinal Cord Compression in a Dog	Dog	中興大學獸醫病理生物學研究所
535	76	Chondrodysplasia, diffuse, severe, chronic, growth plate, femur.	Rat	中興大學獸醫病理生物學研究所
539	77	Epitheliotropic mastocytic conjunctivitis	Cat	臺灣動藥國際股份有限公司

541	77	Protothecosis	Dog	國立臺灣大學獸醫專業學院
546	78	Ascites syndrome in broilers	Avian	國立中興大學動物疾病診斷中心
557	80	Systemic lupus erythematosus with erythema multiforme-like lesions, human	Human	佛教慈濟綜合醫院暨慈濟大學病理科
558	80	Pododermatitis, left forelimb and right hindlimb foot pad	Cat	霍普獸醫病理診斷中心
565	82	Intestinal intramural hemorrhage/hematoma, small intestine	Dog	霍普獸醫病理診斷中心
575	84	Ovotestes, epididymis, and uterus, reproductive organs	Cat	霍普獸醫病理診斷中心
576	84	Oxalate nephropathy	Asian yellow pond turtle (柴棺龜; Mauremys mutica)	國立中興大學獸醫病理生物學研究所
578	84	Yolk embolism	Savannah monitor	國立台灣大學獸醫專業學院分子暨比較病理生物學研究所
589	87	Portosystemic shunt	feline	霍普獸醫病理診斷中心
591	87	Fabry disease	human	三軍總醫院病理科
592	87	Atherosclerosis	mouse	財團法人國家實驗研究院國家實驗動物中心
593	88	Minute pulmonary meningothelial-like nodules	human	羅東博愛醫院
601	89	Feline gastrointestinal eosinophilic sclerosing fibroplasia	Cat	立眾病理實驗室
615	92	Disorder of sexual development	Dog	國立台灣大學獸醫專業學院分子暨比較病理生物學研究所

會員資料更新服務

各位會員：

您好！如果您的會員資料有更新或誤刊情形，麻煩您填妥表格後寄回學會秘書處或電話連絡：

中華民國比較病理學會秘書處

張晏禎 副教授

cscptaiwan@gmail.com

02-33663873

106 台北市羅斯福路四段一號 國立台灣大學 獸醫專業學院

-----中華民國比較病理學會-----

會員資料更改卡

姓 名：_____ 會員類別：一般會員

學生會員

贊助會員

最高學歷：_____

服務單位：_____職 稱：_____

永久地址：_____

通訊地址：_____

電 話：_____傳 真：_____

E-Mail Address：_____

中華民國比較病理學會

誠摯邀請您加入

入會辦法

一、 本會會員申請資格為：

(一) 一般會員：贊同本會宗旨，年滿二十歲，具有國內外大專院校（或同等學歷）生命科學及其它相關科系畢業資格或高職畢業從事生命科學相關工作滿兩年者。

(二) 學生會員：贊同本會宗旨，在國內、外大專院校生命科學或其他相關科系肄業者（請檢附學生身份證明）。

(三) 贊助會員：贊助本會工作之團體或個人。

(四) 榮譽會員：凡對比較病理學術或會務之推廣有特殊貢獻，經理事會提名並經會員大會通過者。

二、 會員：

(一) 入會費：一般會員新台幣壹仟元，學生會員壹佰元，贊助會員伍仟元，於入會時繳納。

(二) 常年會費：一般會員新台幣壹仟元，學生會員壹佰元。

【註：學生會員身份變更為一般會員時，只需繳交一般會員之常年會費】

三、入會費及常年會費繳交方式：以銀行轉帳或匯款（006 合作金庫銀行、帳號：0190-717-052017、戶名：中華民國比較病理學會）；並請填妥入會申請表連同銀行轉帳交易明細表或匯款單以郵寄或傳真方式寄回中華民國比較病理學會秘書處 張晏禎 老師收。地址：106 台北市羅斯福路四段一號 國立台灣大學 獸醫專業學院
電話：02-33663873

